

**Zeitschrift:** Eclogae Geologicae Helvetiae  
**Herausgeber:** Schweizerische Geologische Gesellschaft  
**Band:** 74 (1981)  
**Heft:** 3

**Artikel:** Stratigraphie und Säugetierfaunen des mittleren Miozäns von Vermes (Kt. Jura)  
**Autor:** Engesser, Burkart / Matter, Albert / Weidmann, Marc  
**Kapitel:** 5: Die Säugetiere (systematischer Teil)  
**DOI:** <https://doi.org/10.5169/seals-165135>

### **Nutzungsbedingungen**

Die ETH-Bibliothek ist die Anbieterin der digitalisierten Zeitschriften auf E-Periodica. Sie besitzt keine Urheberrechte an den Zeitschriften und ist nicht verantwortlich für deren Inhalte. Die Rechte liegen in der Regel bei den Herausgebern beziehungsweise den externen Rechteinhabern. Das Veröffentlichen von Bildern in Print- und Online-Publikationen sowie auf Social Media-Kanälen oder Webseiten ist nur mit vorheriger Genehmigung der Rechteinhaber erlaubt. [Mehr erfahren](#)

### **Conditions d'utilisation**

L'ETH Library est le fournisseur des revues numérisées. Elle ne détient aucun droit d'auteur sur les revues et n'est pas responsable de leur contenu. En règle générale, les droits sont détenus par les éditeurs ou les détenteurs de droits externes. La reproduction d'images dans des publications imprimées ou en ligne ainsi que sur des canaux de médias sociaux ou des sites web n'est autorisée qu'avec l'accord préalable des détenteurs des droits. [En savoir plus](#)

### **Terms of use**

The ETH Library is the provider of the digitised journals. It does not own any copyrights to the journals and is not responsible for their content. The rights usually lie with the publishers or the external rights holders. Publishing images in print and online publications, as well as on social media channels or websites, is only permitted with the prior consent of the rights holders. [Find out more](#)

**Download PDF:** 17.04.2026

**ETH-Bibliothek Zürich, E-Periodica, <https://www.e-periodica.ch>**

sierung von Mycorrhizae, einer symbiontischen Assoziation von Pilzen und der Kortikalzellen von Wurzeln, interpretiert (KLAPPA 1978).

#### 4. Ablagerungsmilieu

Der Fossilbestand lässt keinen Zweifel, dass es sich bei der bearbeiteten Abfolge um eine lakustrische Serie handelt. Das gehäufte Auftreten von Cyanophyceen-Onkoiden in eigentlichen Bänken und in allerdings geringen Mengen in den meisten Mikriten lässt den Schluss zu, dass die ganze Serie in sehr flachem und ruhigem Wasser abgelagert worden ist, in dem vorwiegend Seekreide gebildet wurde. Diese findet sich nun als Mikrit und als Matrix der Onkomikrite. Gelegentliche Stürme sorgten für die Umlagerung der Onkoide, wobei diejenigen mit stabiler Form (z. B. Schale von *Unio* als Kern) kaum umgelagert wurden und sich deshalb zu einseitig konvexen Mumien auswuchsen.

Die rezenten «Schnegglisande» des Bodensees finden sich vom Strand bis in max. 5 m Wassertiefe (SCHÖTTLE & MÜLLER 1968; SCHÄFER & STAPF 1978). Ruhiges Wasser, unterbrochen von vereinzelt Stürmen, und eine niedrige Sedimentationsrate sind die Milieubedingungen, unter denen diese Onkoide entstehen.

Umkrustete Pflanzenstengel und -ästchen deuten auf die Nähe eines Vegetationsgürtels oder einer Vegetationsdecke hin. Dies wird durch das Auftreten zahlreicher waldbewohnender Säugetierarten bestätigt; sie erklärt auch den Mangel detritischer Zufuhren in den See und das damit verbundene geringe Ausmass mechanischer Erosion. Dies wiederum führt zur Annahme, dass die grossregionale Entwässerung vermutlich vorwiegend über ein Karstnetz erfolgte.

Gut ins Bild passen die ziemlich mächtigen Paläoböden, die in mehreren Horizonten entdeckt wurden (Fig. 2). Der untiefe See verlandete mehrmals zumindest teilweise und wahrscheinlich auch ganz. Die während der Emersionsphasen, die sehr lange gedauert haben können, erfolgte Bildung von Böden auf dem Seekreideuntergrund und in den ehemaligen sumpfigen Randgebieten erklärt zwanglos die Vermischung lakustrischer (Mollusken, Ostrakoden, Krabben, Schildkröten) und terrestrischer Faunen (Wald-, Sumpf- und Steppenbiotope, vgl. S. 948), wobei vor allem die meisten Kleinsäugerreste höchstwahrscheinlich in Gewöllen von Raubvögeln zur Ablagerung gelangten.

### 5. Die Säugetiere (systematischer Teil)

#### 5.1 Vorbemerkungen

Bei den nachfolgenden Beschreibungen wurde das Hauptgewicht auf Säugetierformen gelegt, welche zur biostratigraphischen Einstufung der beiden Faunen dienlich sind. Formen, welche nur wenig zu diesem Zwecke beitragen, wurden weniger detailliert behandelt. Wie bereits erwähnt, werden, von einigen Ausnahmen abgesehen, nur Funde berücksichtigt, von welchen die genaue Herkunft bekannt ist. In Form einer Liste werden die im systematischen Teil nicht erwähnten Stücke mit unsicherer Herkunft aufgeführt (vgl. S. 941).

Tabelle 1: Die biostratigraphische Einstufung der Faunen von Vermes 1 und Vermes 2. Die radiometrischen Fixpunkte sind einer unpublizierten Tabelle von Fahlbusch (1979) entnommen.

NM	Schlüssel-lokalitäten	Vergleichbare Faunen	Vergleichbare Faunen der Schweizer Molasse	Faunen von Vermes	'Mammal Ages'		radiometrische Fixpunkte in Mio. J.
9	Can Llobateres		Charmoille		Vallesien	Obermiozän	10.8
8	Anwil	Markt La Grive L-3 Giggenhausen	Anwil Mammern	Vermes 2	← Hipparion		
7	Steinheim	La Grive L-7, M			Astaracien	Mittelmiozän	13.3
6	Sansan	Neudorf	----- Rümikon Schwamendingen Zeglingen				14.7
5	Las Planas 4 B	Langenmoosen Franzensbad	Grabenhüsli Pulverhüsli	Vermes 1	Orleanien		17.5

Die beschriebenen und abgebildeten Originalstücke befinden sich, sofern nichts anderes erwähnt ist, in der Sammlung des Naturhistorischen Museums Basel und tragen die Sammlungsnummern dieser Institution (Signatur «Vs.»).

Um Vergleiche zu erleichtern, sind durch die ganze Arbeit hindurch nur Zähne der linken Kieferhälfte abgebildet worden. Falls keine linken Zähne zur Verfügung standen, wurden rechte Exemplare spiegelbildlich gezeichnet. Diese Stücke tragen in der Figurenlegende den Vermerk «invers».

Das Messen der Insectivoren-Zähne erfolgte nach der in ENGESSER 1980 (S. 60, 71-72) angegebenen Methode. Für die Terminologie der Zahnteile bei Insectivoren-Zähnen sei ebenfalls auf diese Arbeit verwiesen (S. 60-61); im Fall von Lagomorphen- und Nagetierzähnen auf ENGESSER 1972 (S. 203 und 241).

Für die Alterseinstufung der Faunen finden in dieser Arbeit die neogenen Säugetierzonen (NM = Neogene Mammals) Verwendung. Mit diesen Zonen wurden auch die auf letzteren basierenden «Mammal Ages» (Orléanien, Aragonien, Astaracien usw.) übernommen (vgl. FAHLBUSCH 1976). Im Gegensatz zu älteren säugetierpaläontologischen Arbeiten wird die Miozän-Pliozän-Grenze hier in Anlehnung an die Marinstratigraphie festgelegt (vgl. Tabelle 1). Demnach entspricht das Obermiozän früherer Autoren in dieser Untersuchung dem Mittelmiozän, das untere und mittlere Pliozän («Pontien», «Pannonien») dem Obermiozän.

### Ordnung *Marsupialia* ILLIGER 1811

#### *Amphiperatherium* sp.

Material. - 1 M inf. (1,92 × 1,16 mm); 1 Zahnfragment.

Beutelratten sind an Fundstellen des Paläogens in Europa recht häufig, gehören jedoch im Mittelmiozän bereits zu den grossen Seltenheiten. Im höheren Mittelmiozän sind sie in Europa auch ausgestorben.

Von Vermes 1 sind zwei einzelne untere Molaren einer Beutelratte bekannt, welche das für diese Gruppe typische hohe, spitze Trigonid zeigen und ein vom Entoconid deutlich abgetrenntes Hypoconulid.

Die jüngsten Marsupialier finden wir in der Schweiz in den Faunen von Zeglingen BL und Rümikon ZH, welche etwas älter als Sansan (NM 6) sein dürften. Die jüngste aus Mitteleuropa bekannte Form stammt aus Oggenhof in der bayerischen Molasse (vgl. CROCHET 1978). Diese Fauna wird von FAHLBUSCH (1964) aufgrund von *Megacricetodon* altersmässig mit der von La Grive (NM 7) gleichgesetzt.

Ordnung *Insectivora* BOWDICH 1821

Familie *Erinaceidae* BONAPARTE 1838

Unterfamilie *Echinosoricinae* CABRERA 1925

*Galerix* aff. *exilis* BLAINVILLE 1840 von Vermes 1

Fig. 6 und 7

*Material.* – Mand. dext. I, C, P<sub>2</sub>-M<sub>3</sub>; 3 Einzelzähne; 6 Zahnfragmente.

*Masse* (mm)

Mand.:

P <sub>2</sub> 1,68 × 0,80	P <sup>4</sup> 2,12 × 1,72
P <sub>3</sub> 1,64 × 0,80	M <sup>2</sup> 2,12 × 2,84
P <sub>4</sub> 2,32 × 1,20 <sup>4)</sup>	M <sup>3</sup> 1,48 × 1,60
M <sub>1</sub> 2,64 × 1,92 <sup>4)</sup>	
M <sub>2</sub> 2,52 × 1,76 <sup>4)</sup>	
M <sub>3</sub> 2,00 × 1,32 <sup>4)</sup>	

Von Vermes 1 ist eine *Galerix*-Form durch ein Mandibelfragment (Sammlung E. Heizmann, Ludwigsburg), 3 Einzelzähne und 6 Zahnfragmente belegt. Auf dem Mandibelfragment ist erkennbar, dass der P<sub>3</sub> etwas kleiner ist als der P<sub>2</sub> (vgl. Fig. 6). Der M<sup>2</sup> zeigt einen sehr kurzen Metaconulus-Hinterarm, der an der Basis des Metaconus endigt, ohne nach posterolabial zum Metastyl zu ziehen. Diese beiden Merkmale sind charakteristisch für die Art *G. exilis*. Gegenüber *G. exilis* von La Grive (= *Pseudogalerix stehlini* GAILLARD) zeichnet sich die Form von Vermes 1 durch deutlich kleinere Dimensionen aus. Auch gegenüber der Nominalform dieser Art, *G. exilis* von Sansan, erweist sich die Form von Vermes als etwas kleiner (vgl. Diagramm Fig. 7). Die beste Übereinstimmung zeigen die Stücke von Vermes mit der Form von Vieux Collonges. Diese Übereinstimmung betrifft nicht nur die Grösse, sondern auch die Gestalt des P<sub>4</sub>. Dieser Zahn zeigt bei der Form von Sansan einen sehr niedrigen Vorderhügel (vgl. ENGESSER 1972, Abb. 4, 2), während er am P<sub>4</sub> von Vermes sowie an zwei von Vieux Collonges vorliegenden Exemplaren deutlich

<sup>4)</sup> Diese Zähne konnten nur approximativ gemessen werden, da die Mandibel zum Teil noch im Sediment steckt.

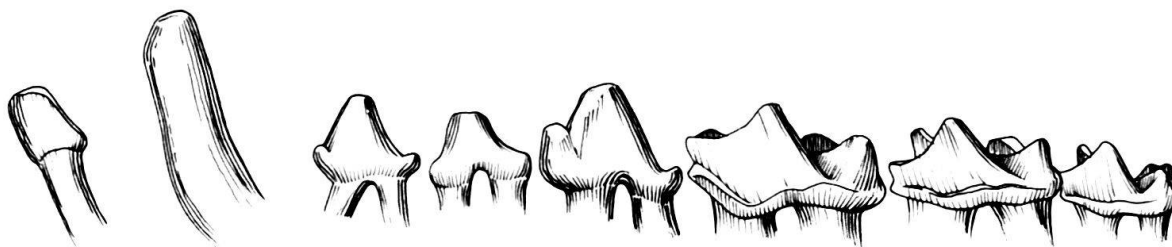


Fig. 6. *Galerix* aff. *exilis* BLAINVILLE 1840 von Vermes 1. Mand. sin. (invers) I. C. P<sub>2</sub>-M<sub>3</sub>. Samml. E. Heizmann, Ludwigsburg. × 6.

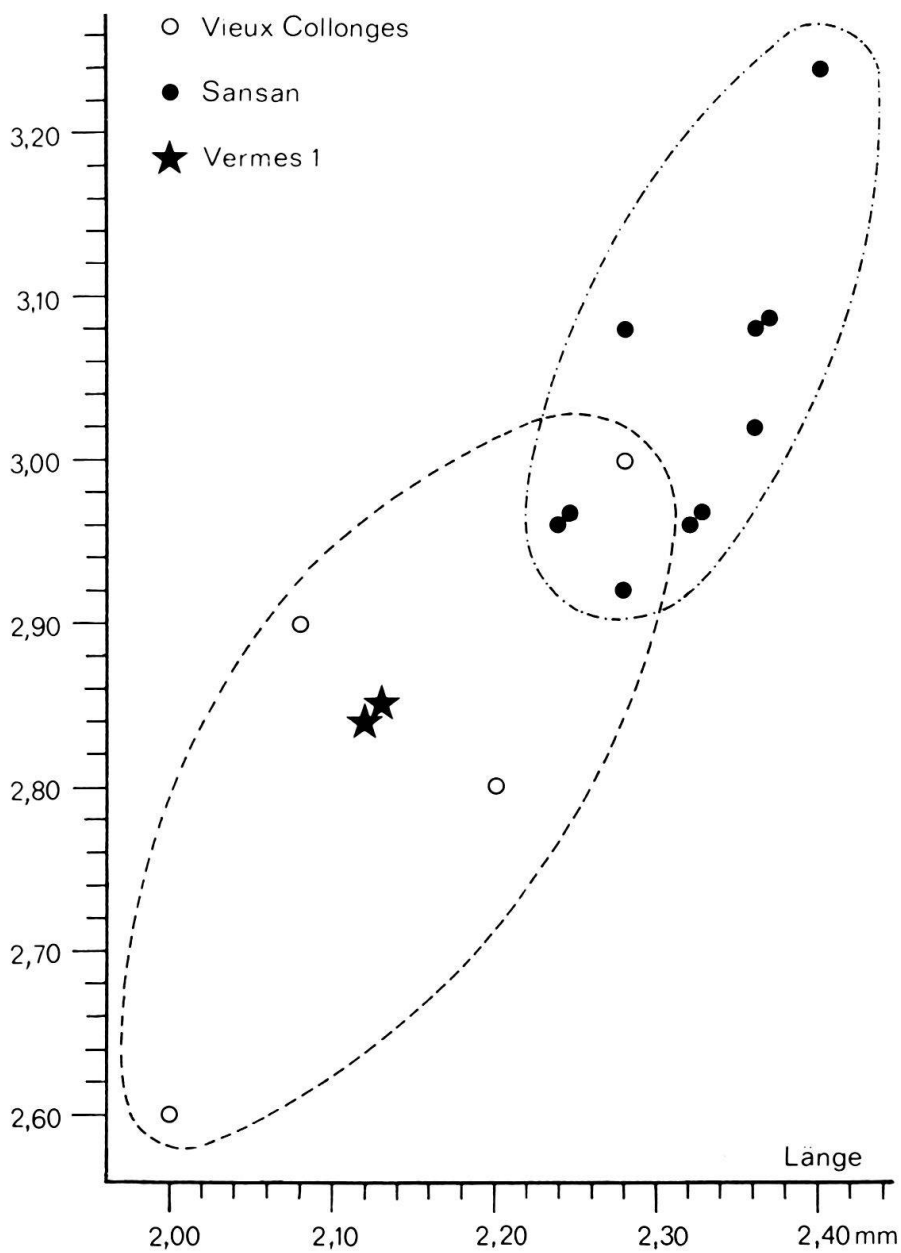


Fig. 7. Längen-Breiten-Diagramm der M<sup>2</sup> der *Galerix*-Formen von Vermes, Sansan und Vieux Collonges.

höher ausgebildet ist. Ausserdem scheint auch der linguale Nebenhügel bei den Stücken von Vermes und Vieux Collonges weniger vom Haupthügel abgegliedert zu sein, als dies beim  $P_4$  der Form von Sansan zu beobachten ist. In seiner Morphologie steht der  $P_4$  von Vermes dem entsprechenden Zahn von *Galerix socialis* (H. VON MEYER) näher als dem von *G. exilis*.

#### *Galerix* sp. von Vermes 2

*Material.* – Max. sin.  $M^1$ – $M^3$ ; Mand. sin.  $M_3$ .

Die beiden Kieferfragmente von Vermes 2 stimmen recht gut mit *Galerix* aff. *exilis* von Vermes 1 überein. Leider sind  $M^1$  und  $M^2$  des Maxillarfragmentes stark beschädigt, so dass keine präzisen Masse genommen werden können. Wir scheinen es auch in Vermes 2 mit einer *G. exilis* nahestehenden Form zu tun zu haben, ist doch auch hier der Metaconulus-Hinterarm von  $M^1$  und  $M^3$  sehr kurz.

Aus der Sammlung Bodmer liegt ein  $M^2$  vor, der in Morphologie und Grösse nicht von jenem von *G. aff. exilis* von Vermes 1 zu unterscheiden ist.

#### *Lanthanotherium* sp. von Vermes 1

*Material.* – 1 Zahnfragment.

Nur durch ein Fragment eines  $M^2$ , welches Metaconus, Metaconulus und einen Teil des Hypoconus zeigt, ist *Lanthanotherium* von Vermes 1 belegt. Besonders auffällig an diesem Zahnfragment sind seine kleinen Dimensionen: Seine hintere Breite beträgt 2,68 mm, während sie sich bei *L. sansaniensis* von Sansan um die 3 mm bewegt. Wahrscheinlich gehört das *Lanthanotherium* von Vermes 1 einer neuen Art an, da so eine kleine *Lanthanotherium*-Art erst im Obermiozän (NM9) bekannt ist: *L. sanmigueli* VILLALTA & CRUSAFONT.

#### Unterfamilie *Erinaceinae* FISCHER VON WALDHEIM 1817

#### *Mioechinus* aff. *sansaniensis* (LARTET 1851) von Vermes 2

Fig. 8a

*Material.* – Vs. 252 Max. dext.  $P^2$ – $M^2$ ; Vs. 186 Max. sin.  $P^4$ – $M^1$ ; Vs. 183 Max. dext.  $P^4$  (fragm.); Vs. 187 Mand. sin.  $M_1$ – $M_2$  (fragm.).

*Masse* (mm)

$P^2$ 1,64 × 1,14	$M^1$ 3,33 × 4,08
$P^3$ 1,80 × 1,76	3,66 × 4,08
$P^4$ 3,42 × 3,33	$M^2$ 2,75 × 3,83

Die echten Igel sind in Vermes 2 durch eine kleine Art belegt, welche sich am ehesten mit einer Form von La Grive vergleichen lässt, die unter dem Namen «*Mioechinus sansaniensis*» bekannt ist. Wie an anderer Stelle (vgl. ENGESSER 1980, S. 86) gezeigt wurde, ist dieser Artname ungültig, und auch die Zuordnung zum Genus *Mioechinus* BUTLER 1947 ist provisorisch. Es steht jedoch derzeit kein anderer Name zur Verfügung.

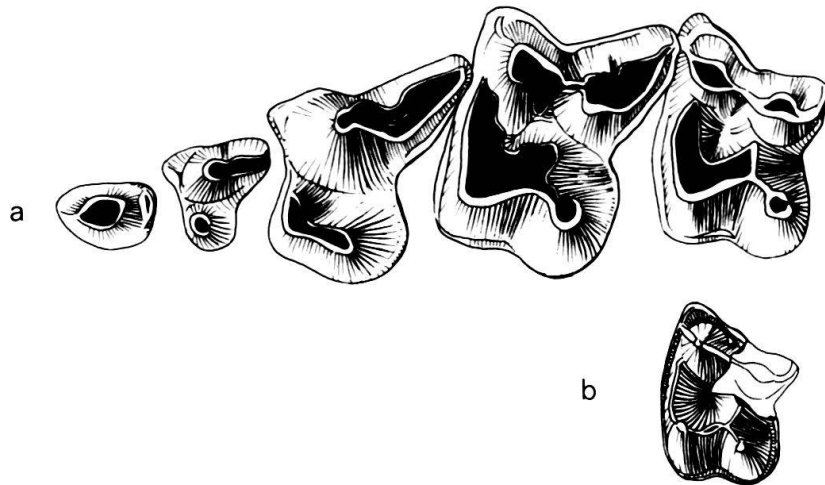


Fig. 8. a = *Mioechinus* aff. *sansaniensis* (LARTET 1851) von Vermes 2. Max. sin. P<sup>2</sup>-M<sup>2</sup>, Vs. 252 (invers);  
b = *Mioechinus* sp. von Vermes 1. Fragment eines M<sup>2</sup> sin. Vs. 522. Beide Figuren  $\times 6$ .

Die Gestalt des P<sup>4</sup> veranlasste HÜRZELER (1939), den Erinaceinen von Vermes 2 als «*Erinaceus* cf. *sansaniensis*» aufzuführen. Wie man sich am Material, das in Lyon aufbewahrt wird, überzeugen kann, unterliegt gerade der P<sup>4</sup> von «*M. sansaniensis*» aus La Grive beträchtlichen Variationen, und die P<sup>4</sup> von Vermes bewegen sich durchaus noch im Rahmen dieser Variation. Ausserdem kam 1951 in Vermes 2 ein Maxillarfragment mit P<sup>2</sup>-M<sup>2</sup> zum Vorschein (vgl. Fig. 8), welches zeigt, dass auch die beiden vor dem P<sup>4</sup> gelegenen Prämolaren eine grosse Übereinstimmung mit der Art von La Grive zeigen. Im Unterschied zu dieser Art erweisen sich die Stücke von Vermes 2 im Durchschnitt allerdings als etwas kleiner.

#### *Mioechinus* sp. von Vermes 1

Fig. 8b

*Material.* - 2 Zahnfragmente.

An den Fundstellen von Vermes 1 wurden bisher nur Fragmente von zwei M<sup>2</sup> eines Erinaceinen gefunden (vgl. Fig. 8b). Nach diesen Fragmenten scheint der Erinaceine von Vermes 1 deutlich kleiner zu sein als jener von Vermes 2.

#### Familie *Plesiosoricidae* WINGE 1917

##### *Plesiosorex* cf. *germanicus* (SEEMANN) von Vermes 1

*Material.* - 3 Einzelzähne.

Drei Einzelzähne von Vermes 1 sind zweifellos dem Genus *Plesiosorex* zuzuordnen. Es handelt sich dabei um einen P<sub>4</sub> (2,62  $\times$  1,62 mm), einen P<sup>3</sup> (2,36  $\times$  2,20 mm) und einen M<sub>3</sub> (2,14  $\times$  1,56 mm). Die Form von Vermes 1 ist mit Sicherheit kleiner als *P. schaffneri* von Anwil (vgl. ENGESSER 1972) und grösser als *P. styricus* von Schönegg und Voitsberg (vgl. THENIUS 1949). Auch im Vergleich mit der relativ gut belegten Form von Rümikon nehmen sich die Zähne von Vermes etwas kleiner aus. Sie dürften in der Grösse in etwa *P. germanicus* von Viehhausen (vgl. SEEMANN 1938) entsprechen. Genauere Vergleiche der beiden Formen sind nicht möglich, da

das Material von Viehhausen verschollen ist und die Abbildungen in der Arbeit von SEEMANN recht dürftig sind.

Auch in der Sammlung Bodmer liegt ein Einzelzahn von *Plesiosorex* – ein  $M^3$  –, der sich jedoch mit der Form von Vermes 1 nicht direkt vergleichen lässt, da von dieser der  $M^3$  nicht bekannt ist. Auch dieses Stück ist etwas kleiner ( $2,12 \times 3,36$  mm) als die entsprechenden Exemplare von Rümikon.

#### Familie *Dimylidae* SCHLOSSER 1887

##### *Plesiodimylus chantrei* GAILLARD 1897 von Vermes 1

*Material.* – 4 Einzelzähne; 6 Zahnfragmente.

Als einziger Vertreter der Familie der Dimylidae ist bis heute *Plesiodimylus* belegt. Bisher wurden an den Fundstellen von Vermes 1 zwei  $P_4$  ( $1,40 \times 1,00$  und  $1,46 \times 1,00$  mm), ein  $M_2$  ( $2,00 \times 1,40$  mm), ein  $M^2$  ( $1,96 \times 2,46$  mm) und zahlreiche Zahnfragmente gefunden. Diese Einzelzähne lassen sich von entsprechenden Exemplaren etwa von Anwil BL sowohl morphologisch als auch grössenmässig nicht unterscheiden. Das Fehlen von Unterschieden ist nicht weiter erstaunlich, da *Plesiodimylus chantrei* durch das ganze Mittelmiozän bis ins ältere Obermiozän hinauf quasi unverändert vorkommt.

#### Familie *Talpidae* GRAY 1825

##### Talpide gen. et sp. indet. von Vermes 1

*Material.* – 2 Zahnfragmente.

Nur zwei Fragmente unterer Molaren belegen die Anwesenheit eines Maulwurfs in der Fauna von Vermes 1. Die beiden Fragmente, die schmale, hohe Aussenhügel aufweisen, lassen sich nicht näher bestimmen.

#### Familie *Soricidae* GRAY 1921

##### Unterfamilie *Heterosoricinae* VIRET & ZAPFE 1951

##### *Dinosorex zapfei* ENGESSER 1975 von Vermes 1

Fig. 9

*Material.* – Mand. sin.  $M_1$ – $M_3$ ; 6 Einzelzähne; 5 Zahnfragmente.

*Masse* (mm)

$M_1$	$2,92 \times 1,66$	$Z^1$	$2,16 \times 1,60$
	$2,50 \times 1,40$		
$M_2$	$2,48 \times 1,64$	$M^2$	$1,96 \times 2,28$
$M_3$	$1,60 \times 1,12$	$M^3$	$1,14 \times 1,36$

1966 wurde im Faunenhorizont von Vermes 1 ein Mandibelfragment mit  $M_1$ – $M_3$  eines Heterosoricinen gefunden, welches später *Dinosorex zapfei* zugeordnet wurde (vgl. ENGESSER 1972, Abb. 15g und h, und 1975, Tf. 5b). Mittlerweile kamen an den Fundstellen von Vermes 1 noch weitere Einzelzähne dieser grossen Spitz-

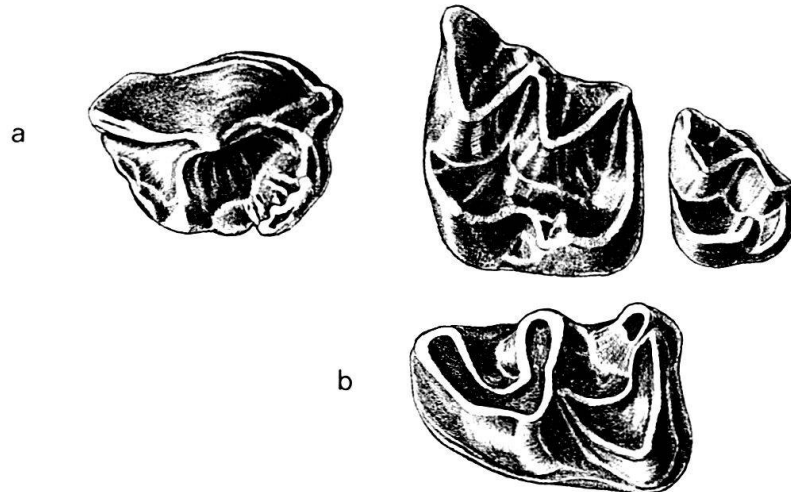


Fig.9. *Dinosorex zapfei* ENGESSER 1975 von Vermes 1.

a = Z<sup>1</sup> sin. Vs. 528, M<sup>2</sup> sin. Vs. 530 und M<sup>3</sup> sin. Vs. 532; b = M<sub>1</sub> sin. (invers) Vs. 523. Alle Figuren × 12.

maus zum Vorschein, welche in Morphologie und Grösse sehr gut mit *D. zapfei* von Neudorf (ČSSR) übereinstimmen. Ein typisches Merkmal dieser Art ist der meist ganz direkte Verlauf des Hypoconid-Hinterarmes an M<sub>1</sub> und M<sub>2</sub> zum Entoconid. Dieses Merkmal lässt sich an drei, z.T. ganz frischen Einzelzähnen im neuen Material von Vermes 1 beobachten. An einem M<sub>1</sub> (Vs. 523, vgl. Fig. 9b) zieht der Hypoconid-Hinterarm allerdings leicht hinter die Spitze des Entoconids. Dieser Zahn ist auch besonders klein (2,50 × 1,40 mm). Weitere charakteristische Merkmale dieser Art, die sich am neuen Material von Vermes 1 erkennen lassen, sind das Fehlen von «entoconid crests» und die schwach entwickelten hinteren Cingula der untern Molaren. *D. zapfei* ist bisher nur von Neudorf und Vermes sicher nachgewiesen.

Von Vermes 2 ist kein Heterosoricine mit Sicherheit belegt. Einzig in der Sammlung Bodmer liegt ein oberer Incisiv eines Heterosoricinen, dessen genauer Fundort nicht bekannt ist und der sich nicht spezifisch bestimmen lässt.

### *Soricidae* incertae sedis

Soricide gen. et sp. indet. von Vermes 1

*Material.* – Mand. sin. M<sub>2</sub>; 1 M sup. (Fragm.).

Seltsamerweise sind die kleinen Soriciden, welche an den meisten Fundstellen des Mittelmiozäns sehr häufig sind, in Vermes 1 nur durch ein Mandibelfragment mit M<sub>1</sub> und ein Fragment eines oberen Molaren, das nicht näher bestimmbar ist, nachgewiesen. Von Vermes 2 sind gar keine kleinen Soriciden bekannt.

### Ordnung *Chiroptera* BLUMENBACH 1979

Chiroptera gen. et sp. indet. von Vermes 1

*Material.* – 3 Zahnfragmente.

An den Fundstellen von Vermes 1 sind bis heute nur drei Zahnfragmente von Fledermäusen gefunden worden: zwei Fragmente von unteren Molaren und eines von einem unteren Canin. Keiner dieser Reste lässt sich näher bestimmen.

Ordnung *Lagomorpha* BRANDT 1855

Familie *Ochotonidae* THOMAS 1897

*Prolagus oeningensis* (KÖNIG 1825)

Dieser kleine Pfeifhase ist in beiden Faunen von Vermes recht häufig. Morphologisch lassen sich zwischen den Formen von Vermes 1 und 2 keine Unterschiede finden. Dies ist nicht weiter erstaunlich, da *P. oeningensis* durch das ganze mittlere Miozän hindurch vorkommt und in diesem Zeitabschnitt nur geringe Änderungen in der Zahnmorphologie aufweist (vgl. LOPEZ-MARTINEZ 1974, ENGESSER 1972). Grössenmässig scheint sich die Form von Vermes 1 etwas kleiner auszunehmen. Für eine endgültige Aussage in dieser Hinsicht reicht das vorliegende Material jedoch nicht aus.

*Lagopsis* SCHLOSSER 1884

Wenn auch seltener als *Prolagus*, so ist auch *Lagopsis* in beiden Faunen von Vermes vertreten. Anders als bei ersterer Gattung unterscheiden sich die *Lagopsis*-Formen von Vermes 1 und 2 recht deutlich.

*Lagopsis penai* (ROYO 1928) von Vermes 1

Fig. 10a-b

Von Vermes 1 liegen nur drei Einzelzähne – 2  $P_3$  und 1  $P^3$  – von *Lagopsis* vor. Diese fallen durch ihre kleinen Dimensionen und ihren ursprünglichen Bau auf. Die beiden  $P_3$  sind im hinteren Teil wesentlich schmaler als der entsprechende Zahn von *Lagopsis verus*, und der Vorderpfeiler ist ungegliedert. Besonders das eine Exemplar (Vs. 534, vgl. Fig. 10b) zeigt grosse Übereinstimmung mit dem  $P_3$  von *Lagopsis penai* von Estrepouy und Vieux Collonges. Beim andern  $P_3$  von Vermes 1 (Vs. 533, Fig. 10a) handelt es sich offensichtlich um einen Zahnkeim. Er ist erst geringfügig angekaut, und die Innenpartie des Vorderlobus ist ringförmig isoliert; ein Merkmal, das bei *L. penai* von Estrepouy in 25% der Fälle auftritt (vgl. TOBIEN 1963, S. 24). Betrachtet man den Zahn allerdings von der Unterseite (Fig. 10a, links), so sieht man, dass die isolierte Schmelzinsel in einem späteren Abkautungsstadium mit dem Vorderpfeiler in Verbindung getreten wäre. Besonders auffällig an diesem Zahnkeim sind seine ausserordentlich kleinen Dimensionen ( $1,40 \times 1,36$  mm). Weder im Material von Estrepouy noch von Vieux Collonges ist ein so kleines Exemplar zu finden. Angesichts der geringen Stückzahl von dieser Fundstelle ist die Annahme, dass wir es hier mit einem anomalen Zahn zu tun haben, nicht zulässig.

*Lagopsis verus* (HENSEL 1856) von Vermes 2

Fig. 10e-g

*Material.* – 2 Mand.  $P_3$ - $M_2$ ; 1 Mand.  $P_3$ - $M_1$ ; 1 Mand.  $P_4$ - $M_2$ ; 1 Max.  $P^4$ - $M^2$ .

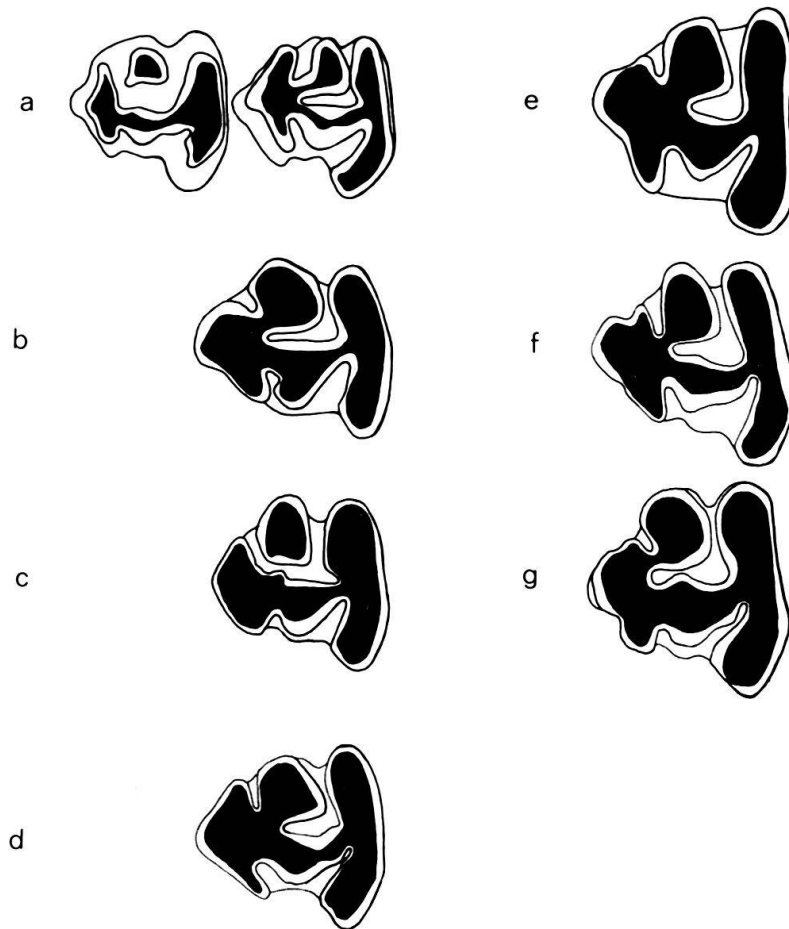


Fig. 10. Vergleich des linken  $P_3$  der *Lagopsis*-Formen von Vermes 1 und 2. Estrepouy und Vieux Collonges.

a = *L. penai* von Vermes 1, Vs. 533 von occlusal (links) und von unten (rechts, invers gezeichnet); b = *L. penai* von Vermes 1, Vs. 534; c = *L. penai* von Estrepouy (NM3), G. B. 714; d = *L. penai* von Vieux Collonges (NM4), V. C. 2545; e-g = *L. verus* von Vermes 2; e = Vs. 190, f = Vs. 188, g = Vs. 248. Alle Figuren  $\times 12$ .

Im Material von Vermes 2 ist *Lagopsis* durch mehrere Kieferfragmente und zahlreiche Einzelzähne belegt. Schon auf den ersten Blick unterscheiden sich diese Zähne von jenen von Vermes 1 durch ihre grösseren Dimensionen. Der  $P_3$  ist auf der Hinterseite deutlich breiter, wodurch die Kaufläche die Form eines gleichseitigen Dreiecks erhält. Der Vorderpfeiler ist mehr gegliedert als bei der Form von Vermes 1.

Den *Lagopsis*-Zähnen von Vermes 2 vergleichbare Stücke sind von Anwil (NM8) bekannt. Allerdings dürfte die Form von letzterer Fundstelle im Durchschnitt etwas grösser sein. Ausserdem zeigen einige  $P_3$  von Anwil auf der Vorderseite des Vorderkiefers eine Schmelz-Einschnürung (vgl. ENGESSER 1972, Abb. 127), wie sie am Material von Vermes 2 nicht zu beobachten ist. Übereinstimmend mit den  $P_3$  von Anwil besitzen jene von Vermes 2 dagegen eine tief ins Zahninnere einschneidende vordere Innenbucht (vgl. Fig. 10e-g), in einem Ausmass, wie sie vom  $P_3$  ursprünglicherer *Lagopsis*-Formen (etwa von Rümikon, Schwamendingen, Zeglingen) nicht bekannt sind.

Ordnung *Rodentia* BOWDICH 1821Familie *Cricetidae* ROCHEBRUNE 1883

Die Hamster sind die sowohl arten- wie individuenmässig am besten vertretene Nagetierfamilie in Vermes 1 und 2. Sie sind ausserdem im Miozän Europas sehr gut untersucht und machen in diesem Zeitabschnitt auch eine schnelle Entwicklung durch. Aus diesen Gründen sind sie für die Alterseinstufung der Faunen von Vermes entscheidend und werden deshalb hier detaillierter untersucht als andere Gruppen.

Genus *Eumyarion* THALER 1966

*Cotimus* BLACK 1961 in FAHLBUSCH (1964), ENGESSER (1972), und FEJFAR (1974)

*Eumyarion weinfurteri* (SCHAUB & ZAPFE 1953) von Vermes 1

Fig. 11-13

1978 *Eumyarion candeloni* BULOT, S. 374, Fig. 1-13.

*Material.* – 66 Einzelzähne.

Bereits unter den ersten Funden von Vermes 1 befand sich ein  $M_1$  von *Eumyarion* (vgl. ENGESSER 1972, Abb. 111, 8), welcher durch sein ursprüngliches Zahnmuster und seine kleinen Dimensionen vermuten liess, dass wir es an diesem Fundort mit einer älteren Fauna zu tun haben als in Vermes 2. Diese Meinung wurde auch von FEJFAR (1974, S. 143) zum Ausdruck gebracht. Bis heute haben die Fundstellen von Vermes 1 66 Zähne von *Eumyarion* geliefert.

*Beschreibung.* – Die Mehrzahl der untern Molaren von *E. weinfurteri* zeigt einen relativ einfachen Bau, d. h., die Zähne besitzen wenig Zusatzsporne: Unter 22  $M_1$  und  $M_2$  fanden sich nur 5, die einen vom Schlusscingulum unabhängigen Hypoconid-Hinterarm entwickelt hatten. An diesen 5 Zähnen ist der Hypoconid-Hinterarm sehr kurz und wenig vom Schlusscingulum abgegliedert. An 16 von den genannten 22 untern Molaren ist ein verdoppelter Mittelsporn (Protoconid-Hinterarm und Mesostylid) zu beobachten; 8 Exemplare besitzen nur einen einfachen Mittelsporn (Protoconid-Hinterarm).

$M^1$  und  $M^2$  zeigen meist einen rückwärtigen Paraconus-Sporn. Am  $M^1$  ist hinter der Vorderknospe in der Regel nur ein vorderer Quersporn entwickelt. Bei einigen  $M^1$  ist neben dem vorderen Quersporn auch ein schwacher Protoconid-Vorderarm zu erkennen. Das kräftig entwickelte Mesostyl tritt an den beiden vorderen oberen Molaren mit dem Metaconus oder dem Paraconus in Verbindung oder endigt frei. An 4 von 9  $M^2$  ist, manchmal nur ansatzhaft, eine verdoppelte Vorjochkante zu beobachten, wie sie für *Eumyarion bifidus* (FAHLBUSCH) typisch ist. Einige  $M^1$  zeigen die für diese Art typische zweigeteilte Vorderknospe. An einigen  $M^2$  ist auch – für *Eumyarion* ganz ungewöhnlich – ein linguales Vordercingulum zu beobachten.

*Beziehungen.* – In der Morphologie ist das Material von *E. weinfurteri* von Vermes 1 sehr inhomogen: Es lassen sich darin Morphotypen finden, welche die Charakteristika der jüngeren *Eumyarion*-Arten – *E. medius*, *E. latior* und *E. bifidus* – bereits vorwegnehmen. Wie bereits erwähnt, gibt es dabei  $M_1$  und  $M_2$  mit einfa-

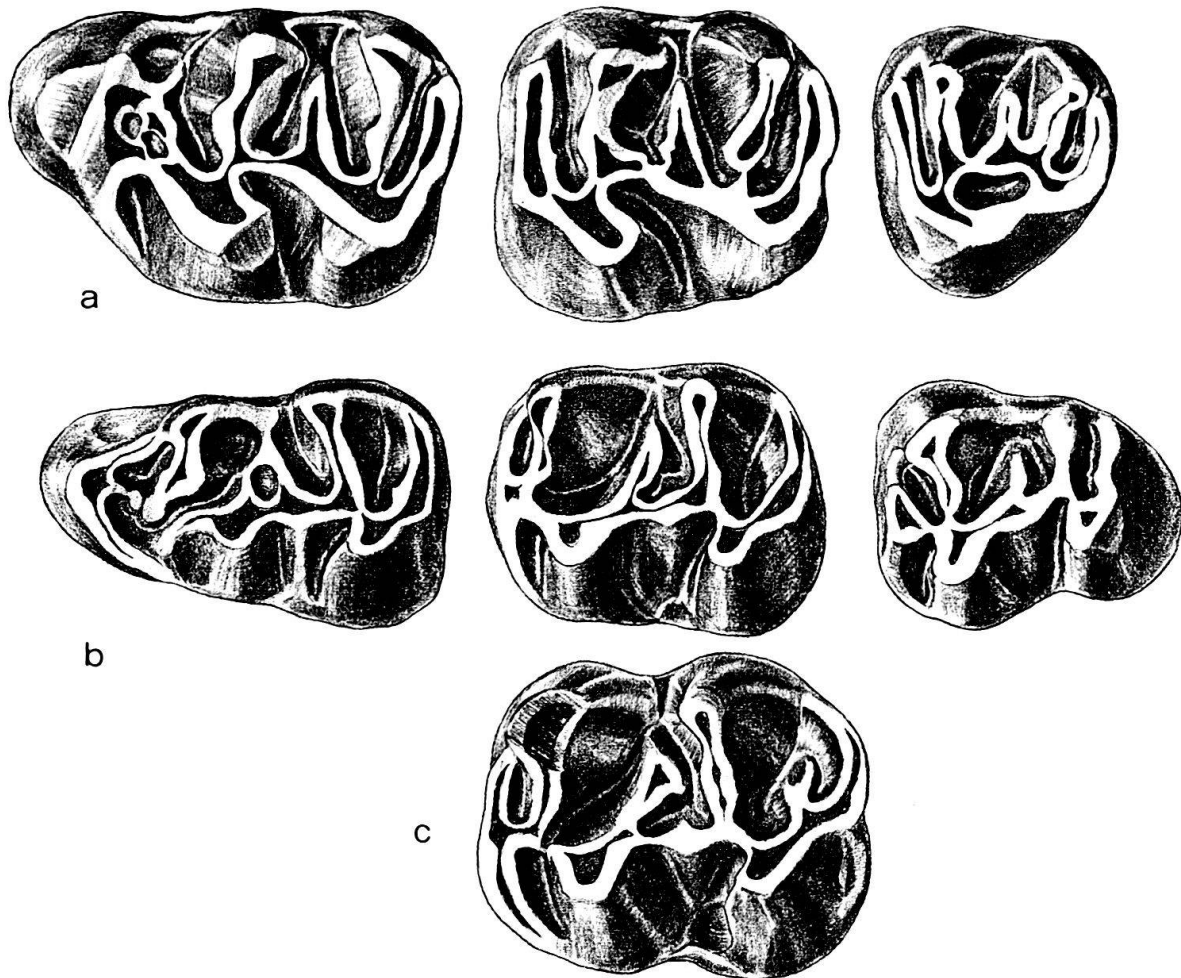


Fig. 11. a = *Eumyarion weinfurteri* (SCHAUB & ZAPFE 1953) von Vermes 1. M<sup>1</sup>-M<sup>3</sup> sin. (zusammengesetzt) M<sup>1</sup>: Vs. 314 (invers), M<sup>2</sup>: Vs. 327 (invers), M<sup>3</sup>: Vs. 331 (invers); b = *Eumyarion weinfurteri* (SCHAUB & ZAPFE 1953) von Vermes 1. M<sub>1</sub>-M<sub>3</sub> sin. (zusammengesetzt) M<sub>1</sub>: Vs. 335 (invers), M<sub>2</sub>: Vs. 334, M<sub>3</sub>: Vs. 301; c = *Eumyarion latior* (SCHAUB & ZAPFE 1953), wahrscheinlich von Vermes 2 (Samml. Bodmer). M<sub>2</sub> sin. Vs. 337. Alle Figuren × 25.

chem Mittelsporn und ohne Hypoconid-Hinterarm, mit einer Morphologie also, welche für *E. medius* typisch ist. Andererseits finden sich unter den beiden vordern untern Molaren aber auch Exemplare, an welchen ein doppelter Mittelsporn und neben dem Schlusscingulum noch ein Hypoconid-Hinterarm ausgebildet ist: Diese Zähne entsprechen im Zahnbau *E. latior* und *E. bifidus*. Auch bei den M<sup>1</sup> und M<sup>2</sup> lassen sich Morphotypen der drei jüngeren *Eumyarion*-Arten unterscheiden: M<sup>1</sup> mit nur einem vordern Quersporn hinter einer ungeteilten Vorderknospe, wie für *E. medius* typisch; Exemplare mit vorderem Quersporn und Protoconus-Vorderarm hinter der ungeteilten Vorderknospe, wie für *E. latior* typisch; und schliesslich solche mit geteilter Vorderknospe und sehr langem Protoconus-Vorderarm, wie für *E. bifidus* typisch. Den Morphotyp von letzterer Art verkörpern auch die M<sup>2</sup> mit doppelter Vorjochkante. Von den genannten drei jüngeren *Eumyarion*-Arten unterscheiden sich die Zähne von Vermes 1 durchwegs durch ihre deutlich kleineren Dimensionen.

Es stellt sich nun natürlich die Frage, ob wir im Material von Vermes 1 nicht drei *Eumyarion*-Arten vertreten haben. Gegen diese Möglichkeit spricht, dass wir

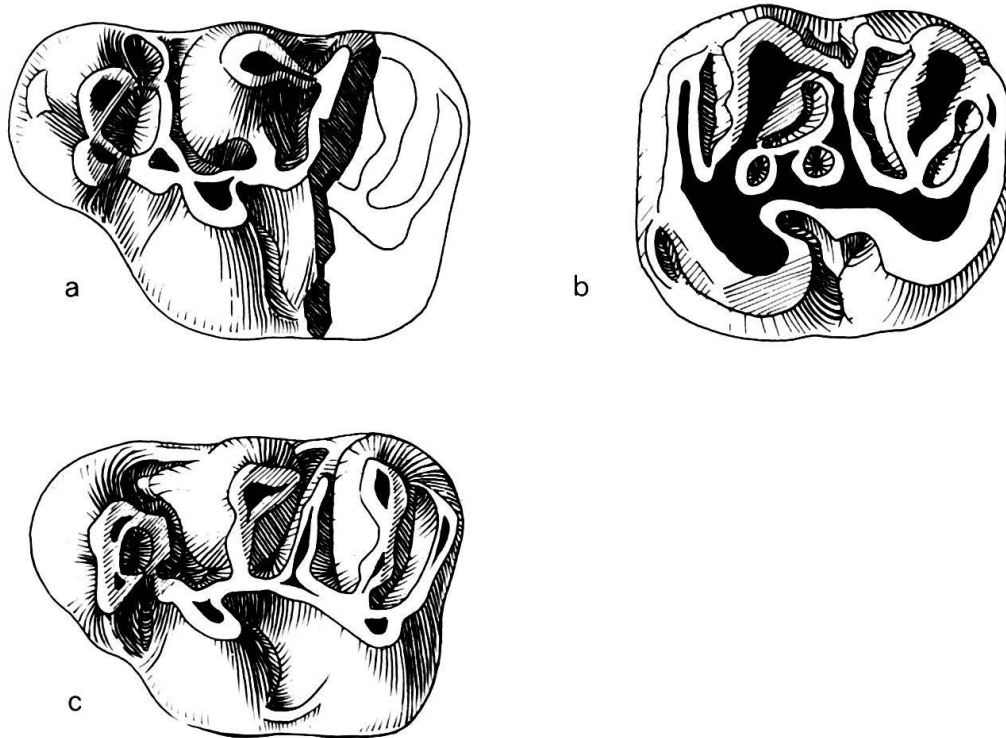


Fig. 12. *Eumyarion weinfurteri* (SCHAUB & ZAPFE 1953) von Vermes 1.

a =  $M^1$  sin. (Fragment), Vs. 308, Morphotyp *E. bifidus*; b =  $M^2$  sin., Vs. 321 (invers), Morphotyp *E. bifidus*; c =  $M^1$  sin., Vs. 306, Morphotyp *E. medius*. Alle Figuren  $\times 25$ .

zwischen den einzelnen Morphotypen Übergänge vorfinden. Ausserdem lassen sich in den Längen-Breiten-Diagrammen keine verschiedenen Konzentrationen feststellen. Hierfür ist allerdings auch das Material zu klein. Immerhin sind die vier  $M^2$  vom Morphotyp *E. bifidus* die grössten Zähne im Diagramm.

Gegen das Vorhandensein mehrerer Arten scheint auch der Umstand zu sprechen, dass in den Populationen von *E. weinfurteri* aus Dolnice, Ořechov und Franzensbad (alle ČSSR, vgl. FEJFAR 1974) ähnliche Variationen in der Morphologie zu beobachten sind. In der mengenmässigen Verteilung zeigen sich allerdings Unterschiede zwischen der Form von Vermes 1 und jenen aus der Tschechoslowakei: Während an den meisten unteren Molaren der tschechischen Formen ein Hypoconid-Hinterarm in Erscheinung tritt, ist dieses Merkmal bei den  $M_1$  und  $M_2$  von Vermes 1 nur bei 5 von 22 Exemplaren zu beobachten. Auf der andern Seite zeigt die Mehrzahl der  $M_2$  aus der Tschechoslowakei einen einfachen Mittelsporn, während bei den Exemplaren von Vermes 1 der doppelte und der einfache Mittelsporn etwa gleich stark vertreten sind. Während der Protoconid-Hinterarm der  $M_1$  von Vermes fast immer den lingualen Zahnrand erreicht, ist er bei den Exemplaren von Dolnice, Ořechov und Franzensbad durchwegs kürzer. In der Grösse erweist sich die Form aus Vermes im Durchschnitt etwas grösser als jene aus der Tschechoslowakei (vgl. Fig. 13). Hierbei ist allerdings zu beachten, dass in den Diagrammen von FEJFAR (1974, Abb. 23) die Populationen von Dolnice (NM 4) und Franzensbad (NM 5) zusammengefasst sind und deshalb im Durchschnitt etwas älter sind als die Population von Vermes 1.

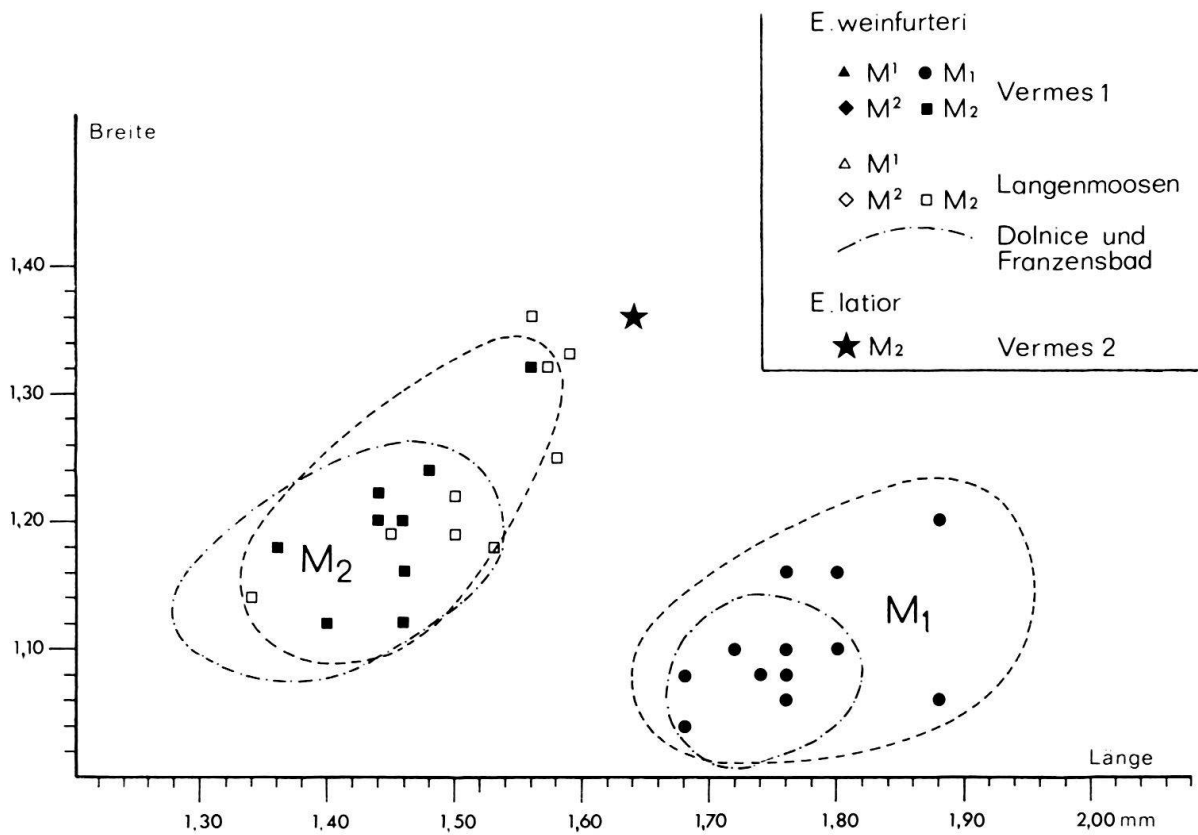
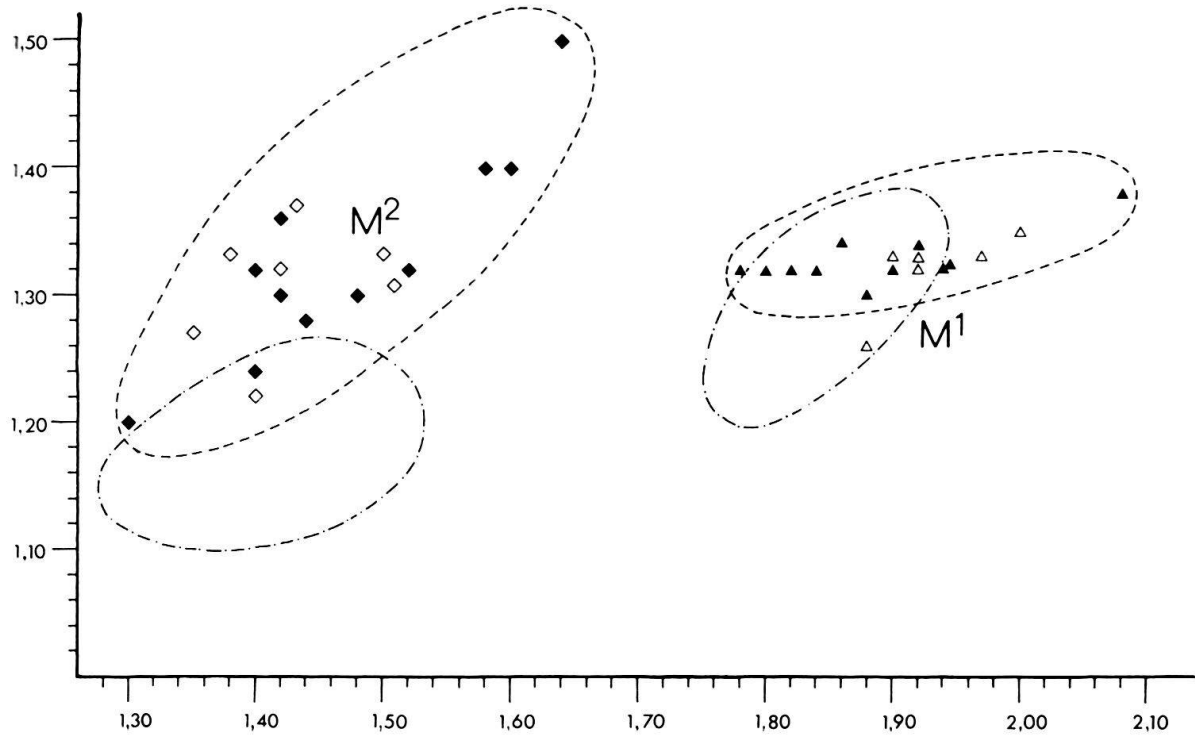


Fig. 13. Längen-Breiten-Diagramme der ersten beiden Molaren von *Eumyarion* von Vermes im Vergleich mit den entsprechenden Zähnen von Langenmoosen (Masse nach FAHLBUSCH 1964) und Dolnice und Franzensbad (Grössenbereich nach FEJFAR 1974).

Besser als mit den Formen von Dolnice und Franzensbad stimmt *E. weinfurteri* von Vermes 1 in der Grösse mit der Form von Langenmoosen überein (von FAHLBUSCH 1964 als «*Cotimus* aff. *medius*» beschrieben; vgl. Fig. 13). Wie bei der Form von Vermes 1 zeigen auch die untern Molaren von Langenmoosen manchmal einen sehr langen Protoconid-Hinterarm.

Gegenüber der *Eumyarion*-Form von Bézian (vgl. BULOT 1978) erweisen sich die Zähne von Vermes 1 im Durchschnitt als etwas grösser. In der Morphologie dagegen zeigen die beiden Formen eine weitgehende Übereinstimmung: Der Protoconid-Hinterarm der untern Molaren ist oftmals sehr lang, und am M<sup>2</sup> lässt sich bei einigen Exemplaren ein linguales Vordercingulum beobachten. Die Form von Bézian wurde von BULOT (1978) als *E. candeloni* beschrieben. Da es kaum möglich ist, diese Art sicher gegenüber *E. weinfurteri* abzugrenzen, ist es vorteilhaft, sie als ein jüngeres Synonym dieser letzteren Art zu betrachten.

Das *Evolutionsniveau* von *E. weinfurteri* von Vermes 1. – Schon durch seine geringe Grösse erweist sich *E. weinfurteri* gegenüber *E. medius* und *E. latior* als primitiver. Auch die Ausbildung eines verdoppelten Mittelsporns und eines freien Hypoconid-Hinterarmes an den untern Molaren von *Eumyarion* kann als Primitivmerkmal gelten. Morphologisch gesehen ist *E. weinfurteri* von Vermes 1 evoluiertes als *E. latior* und *E. cf. latior* (von Anwil). Dieser Umstand darf jedoch nicht dazu verleiten, Vermes 1 deswegen als stratigraphisch höher einzustufen als Neudorf (NM6) oder Anwil (NM8). Denn mit Sicherheit haben wir es mit verschiedenen Entwicklungslinien zu tun. Für die Alterseinstufung von Vermes 1 wichtig ist der Vergleich mit *E. medius*, da diese Art manche gemeinsamen Merkmale mit *E. weinfurteri* von Vermes 1 zeigt. Gegenüber dieser Art ist jene aus dem Schweizer Jura deutlich kleiner. Ausserdem zeigt letztere gelegentlich noch Primitivmerkmale – wie den freien Hypoconid-Hinterarm und den verdoppelten Mittelsporn an den unteren Molaren –, welche bei der Art von Sansan kaum mehr zu beobachten sind.

*E. medius* ist auch von Rümikon ZH, Schwamendingen ZH und Zeglingen BL belegt (= *E. helveticum* SCHAUB). Das Vorkommen von *E. weinfurteri* in Vermes 1 bietet somit einen Hinweis dafür, dass diese Fauna älter ist als die der genannten drei Fundstellen.

Neben Vermes ist *E. weinfurteri* bisher nur von zwei Fundorten in der Schweiz bekannt: von Werthenstein-Grabenhüsli (südöstlich Wolhusen LU; vgl. VON SALIS 1967, S. 36) und von Pulverhüsli-Glashüttli im Entlebuch (LU; vgl. MATTER 1964, S. 334). Das Material von beiden Fundorten ist sehr gering (zwei bzw. ein Zahn); es passt jedoch in Morphologie und Grösse sehr gut zur Form von Vermes 1, weshalb ein ähnliches Alter der drei Faunen angenommen werden kann.

#### *Eumyarion latior* (SCHAUB & ZAPFE 1953)

Fig. 11c, 13

Die Sammlung Bodmer enthält einen M<sub>2</sub> von *Eumyarion*, der in bezug auf Morphologie und Grösse von *E. weinfurteri* deutlich verschieden ist. Dieser Molar besitzt einen deutlichen, vom Schlusscingulum stark abgegliederten Hypoconid-Hinterarm, wie er an den unteren Molaren von Vermes 1 kaum zu beobachten ist. Auch der frei endigende Protoconid-Hinterarm ist stark entwickelt; vom Mesosty-

lidsporn ist jedoch nur ein kleiner Ansatz zu sehen. Der Zahn ist auch ein gutes Stück grösser als sämtliche  $M_2$  von Vermes 1 (vgl. Fig. 13). Wie bei den meisten Stücken aus der Sammlung Bodmer ist auch bei diesem der genaue Fundpunkt im Profil nicht bekannt. Da dieser Zahn jedoch zu einer Art gehört, welche im Faunenhorizont von Vermes 1 nicht gefunden wurde und zweifellos als jünger einzustufen ist als die Form von Vermes 1, scheint er erwähnenswert, liefert dieses Stück doch einen weiteren Hinweis dafür, dass wir es im Profil von Vermes mit zwei verschieden-altrigen Faunen zu tun haben. Sehr wahrscheinlich stammt der  $M_2$  von Vermes 2, jedenfalls würde er sehr gut ins Gesamtbild dieser Fauna passen. Ausserdem hat W. Bodmer nachweislich in diesem Niveau gesammelt. Seinem Evolutionsgrad nach ist dieses Einzelstück sehr wohl mit der Form von Anwil (*E. cf. latior*) zu vergleichen.

#### Genus *Megacricetodon* FAHLBUSCH 1964

Das Genus *Megacricetodon* ist in den Faunen von Vermes insofern von grosser Bedeutung, als die beiden häufigsten Säugetierformen von Vermes 1 und 2 in diese Gattung gehören. Wichtig ist *Megacricetodon* auch für die Alterseinstufung der beiden Formen, repräsentieren doch die Formen von Vermes 1 und 2 zwei verschiedene Entwicklungsstadien innerhalb einer Entwicklungslinie oder -gruppe. Für die Altersbestimmung von Vermes 2 ist *Megacricetodon* ausschlaggebend, da diese Gattung das fortschrittlichste Element der gesamten Fauna darstellt.

#### *Megacricetodon bavaricus* FAHLBUSCH 1964 von Vermes 1

Fig. 14-16

*Material.* - 3 Einzelzähne.

Drei Einzelzähne, die mit ihren geringern Dimensionen im Diagramm deutlich ausserhalb des Streuungsfeldes der übrigen *Megacricetodon*-Zähne von Vermes 1 liegen, sind *Megacricetodon bavaricus* zuzuordnen. Ausser dem Grössenunterschied lassen sich kaum Unterschiede zu den übrigen *Megacricetodon*-Zähnen von Vermes 1 finden. Bei der Zuordnung der drei Molaren - zwei  $M_1$  und einem  $M^1$  - haben die Dimensionen den Ausschlag gegeben, die vorzüglich in den Grössenbereich von *M. bavaricus* aus der bayerischen Molasse passen (vgl. Fig. 15). Auch in der Morphologie ist die Übereinstimmung mit der Art aus Bayern überzeugend (vgl. Fig. 14).

Das Vorkommen von *M. bavaricus* an den Fundstellen von Vermes 1 ist ebenfalls ein Hinweis auf das relativ hohe Alter dieser Fauna; ist diese Art doch bisher nur aus dem oberen Orléanien (NM 5) sicher belegt.

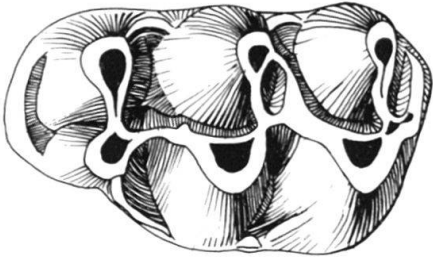
#### *Megacricetodon* aff. *bavaricus* FAHLBUSCH 1964 von Vermes 1

Fig. 14-16

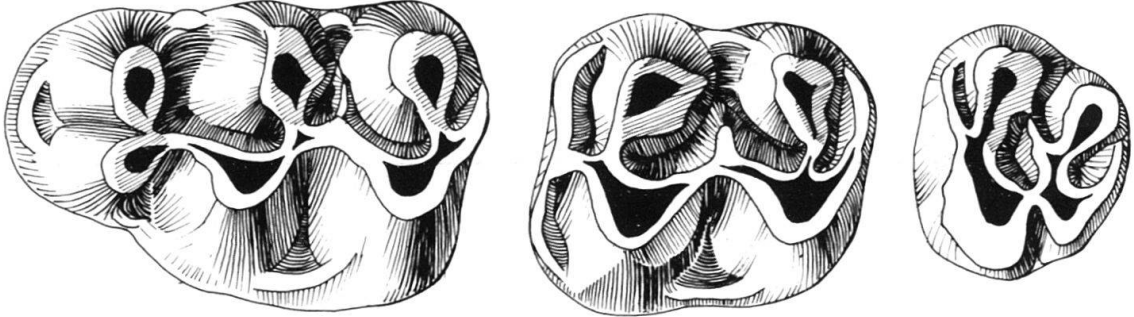
*Material.* - 123 Einzelzähne.

Von der weiter oben beschriebenen *Megacricetodon*-Form unterscheidet sich diese durch die grösseren Dimensionen. Die Vorderknope des  $M_1$  ist in frischem Zustand fast immer ganz leicht zweigeteilt. Mit der Abkautung des Zahnes ver-

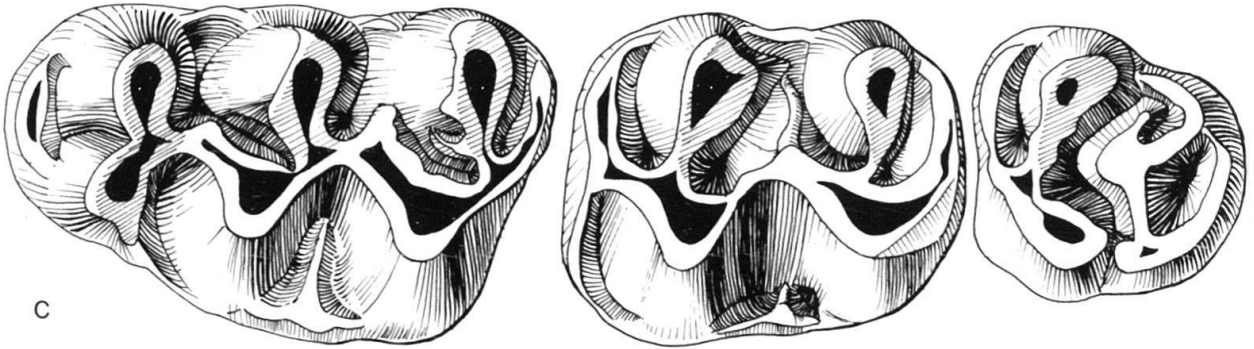
a



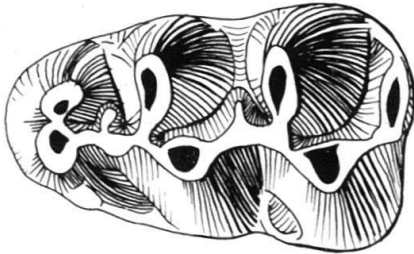
b



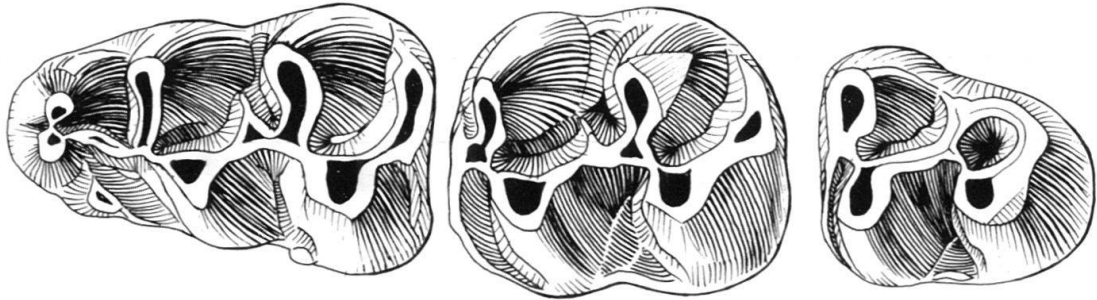
c



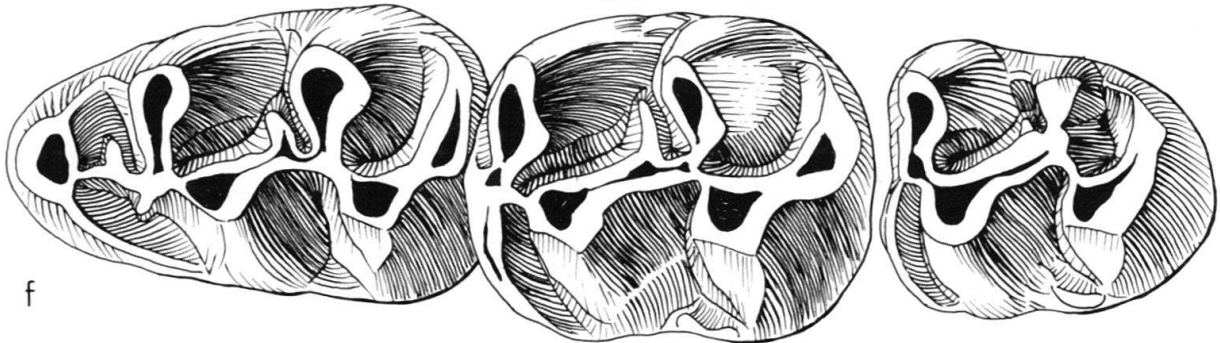
d



e



f



schwindet diese Teilung schon sehr bald. In der Gestalt der Vorderknospe des  $M_1$  liegt der gewichtigste Unterschied zu *M. gregarius*. Bei dieser Art ist die Vorderknospe des  $M_1$  in zwei selbständige Hügel gespalten, welche auch in einem fortgeschrittenen Abkautungsstadium nicht verschmelzen. Das Mesolophid von  $M_1$  und  $M_2$  von der Form von Vermes 1 ist meist sehr kurz oder fehlt vollständig. Der Mesoloph von  $M^1$  und  $M^2$  ist meistens halblang, und häufig ist an diesen Molaren ein rückwärtiger Paraconus-Sporn ausgebildet. Die hinterste Aussensynklinale des  $M^1$  ist durchwegs deutlich entwickelt.

*Diskussion.* – In Morphologie und Grösse stimmen diese *Megacricetodon*-Zähne sehr gut mit Materialien überein, die FAHLBUSCH (1964) als *M. aff. bavaricus* beschrieben hatte. Diese Materialien, die zur Hauptsache von den Fundstellen Rosshaupten, Jettingen und Oggenhof stammen, zeigen eine beträchtliche Grössenvariation (vgl. FAHLBUSCH 1964, Abb. 47): Von Rosshaupten stammt die kleinste Form, von Oggenhof die grösste, und jene von Jettingen befindet sich grössenmässig in der Mitte. Fahlbusch sieht in der unterschiedlichen Grösse von *Megacricetodon* ein Indiz für das verschiedene Alter der Faunen, und so stuft er denn Rosshaupten als die älteste, Jettingen als etwas jünger und Oggenhof als die jüngste dieser Faunen ein.

Demnach ist die Fauna von Rosshaupten etwas jünger als die von Sansan (NM 6); jene von Jettingen kommt zwischen die von Sansan und La Grive zu liegen (NM 6/7), und die Fauna von Oggenhof ist altersmässig mit jener von La Grive gleichgesetzt (NM 7).

*Megacricetodon aff. bavaricus* von Vermes 1 zeigt in der Grösse eine umfangreichere Variationsbreite als die drei Formen aus Bayern: Im Längen-Breiten-Diagramm erstreckt sich das Verbreitungsfeld der Form von Vermes fast über den ganzen Bereich der drei bayerischen Formen. Einzig die grösseren Exemplare von Oggenhof und die kleinsten von Rosshaupten liegen ausserhalb des Bereiches von *Megacricetodon* aus Vermes 1. Stützte man sich bei der Alterseinstufung von Vermes 1 ausschliesslich auf *M. aff. bavaricus*, so müsste man diese Fauna ungefähr mit jener von Jettingen gleichsetzen, d. h., Vermes 1 käme in den Grenzbereich der Zonen NM 6 und 7 zu liegen. Wie weiter unten noch gezeigt wird, ergäbe sich bei einer solchen Einstufung ein grosser Widerspruch zum Rest der Fauna, welche ein wesentlich altertümlicheres Gepräge aufweist. Zudem scheint es bei der Eintönigkeit der Zahnmorphologie von *Megacricetodon* keineswegs gewiss, ob wir es bei den Formen aus Bayern und jener von Vermes 2 wirklich mit derselben Entwicklungslinie zu tun haben.

---

Fig. 14. Vergleich der verschiedenen Formen von *Megacricetodon* von Vermes 1 und 2.

a = *M. bavaricus* FAHLBUSCH 1964 von Vermes 1,  $M^1$  sin. (invers) Vs. 340; b = *M. aff. bavaricus* FAHLBUSCH 1964 von Vermes 1,  $M^1$ – $M^3$  (zusammengesetzt),  $M^1$ : Vs. 348,  $M^2$ : Vs. 439,  $M^3$ : Vs. 460. c = *M. germanicus* AGUILAR 1980 von Vermes 2. Max. sin.  $M^1$ – $M^3$ , Vs. 122; d = *M. bavaricus* FAHLBUSCH 1964 von Vermes 1,  $M_1$  sin. (invers), Vs. 338; e = *M. aff. bavaricus* FAHLBUSCH 1964 von Vermes 1,  $M_1$ – $M_3$  (zusammengesetzt),  $M_1$ : Vs. 375,  $M_2$ : Vs. 396,  $M_3$ : Vs. 414; f = *M. germanicus* AGUILAR 1980 von Vermes 2. Mand. sin.  $M_1$ – $M_3$ , Vs. 184. Alle Figuren  $\times 25$ .

*Megacricetodon germanicus* AGUILAR 1980 von Vermes 2

Fig. 14-16

1964 *Democricetodon (Megacricetodon) gregarius* aff. *bavaricus* FAHLBUSCH, S. 59, Fig. 41-46.

1972 *Megacricetodon gregarius* (SCHAUB 1925), ENGESSER (1972), S. 251, Abb. 97.

1979 *Megacricetodon* aff. *bavaricus* FAHLBUSCH, AGUILAR & CLAUZON, S. 329, Pl. 1, Fig. 1-3.

**Material.** - 8 Mand. M<sub>1</sub>-M<sub>3</sub>; 3 Mand. M<sub>1</sub>-M<sub>2</sub>; 3 Mand. M<sub>2</sub>-M<sub>3</sub>; 2 Max. M<sup>1</sup>-M<sup>3</sup>; 1 Max. M<sup>1</sup>-M<sup>2</sup>; 34 Einzelzähne.

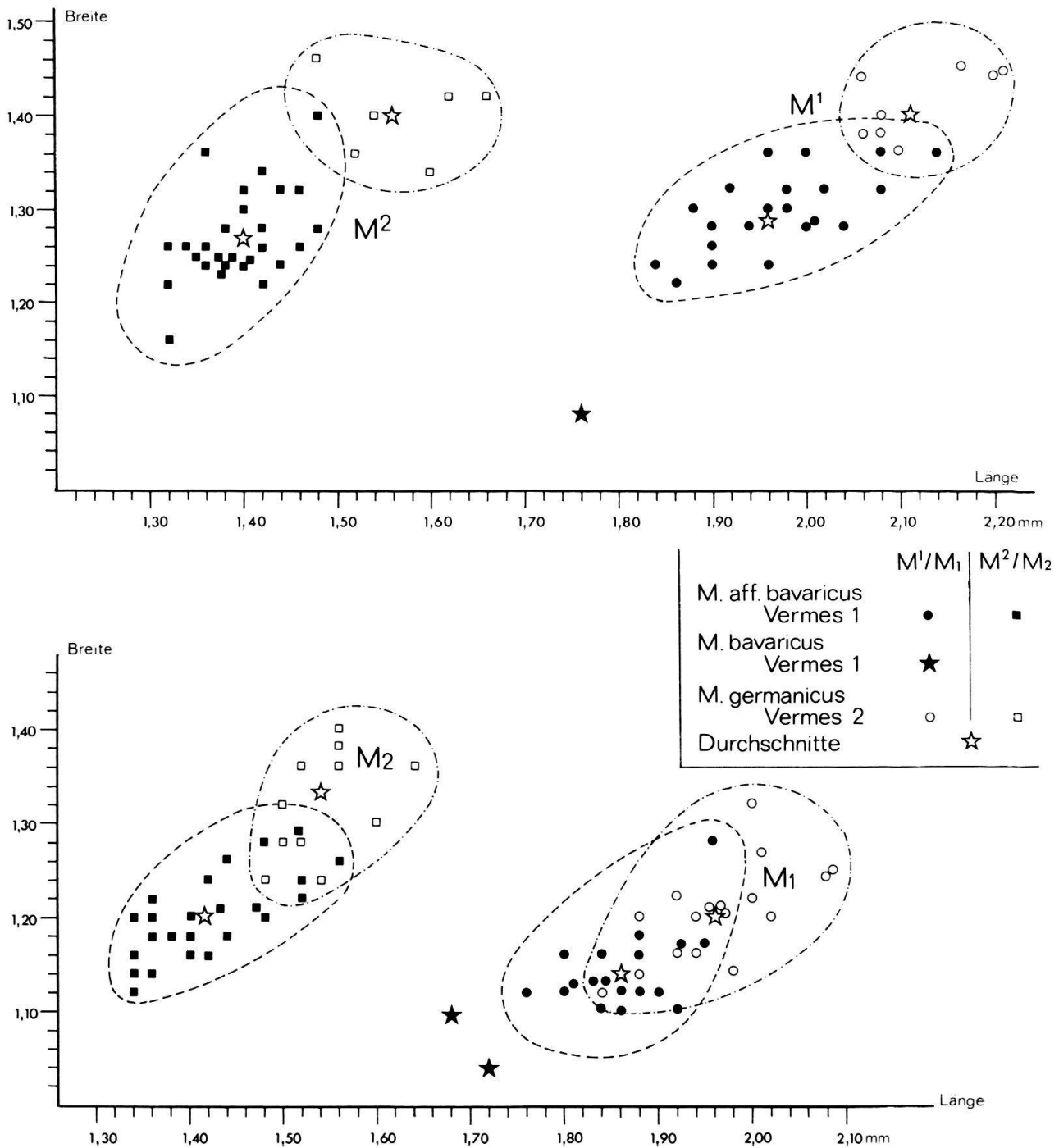


Fig. 15. Längen-Breiten-Diagramme der vorderen beiden Molaren der verschiedenen *Megacricetodon*-Formen von Vermes 1 und 2.

*Beschreibung.* – Der  $M_1$  besitzt eine sehr schmale Vorderknope, welche meist keine Teilung zeigt. Nur an einigen wenigen Exemplaren ist eine leichte Spaltung zu beobachten. Das Mesolophid ist kurz und schräg nach vorn gerichtet; es kann aber auch ganz fehlen. Die Aussenbucht ist nahezu symmetrisch.

Der  $M_2$  zeigt ein kräftig entwickeltes labiales Vordercingulum, während der linguale Teil schwächer ausgebildet ist. Das Mesolophid ist ebenfalls kurz. Das Schlusscingulum ist gegen das Hypoconid zu verdickt. Die Aussenbucht ist nach hinten gerichtet.

Der  $M_3$  ist gegenüber dem  $M_2$  stark reduziert. Sein Entoconid ist nur noch rudimentär vorhanden. Ein Mesolophid fehlt meist, und die Aussenbucht ist stark nach hinten gerichtet.

Der  $M^1$  besitzt eine sehr stark zweigeteilte Vorderknope, auf deren Vorderseite ein terrassenartiger Absatz zu beobachten ist. Der Mesoloph ist meist lang, erreicht jedoch nie den lingualen Zahnrand. Der Paraconus ist durch eine «neue» Vorjochkante (vgl. SCHAUB 1925) mit dem Längsgrat verbunden, jedoch ist an den meisten Exemplaren ein Ansatz zu einer «alten» Vorjochkante zu beobachten. Nur bei wenigen Exemplaren ist ein kräftiger rückwärtiger Paraconus-Sporn entwickelt. Die Nachjochkante mündet nach hinten ins Schlusscingulum, aber immer so weit lingual, dass noch eine wohlausgebildete hinterste Aussensynklinale vorhanden ist.

Der  $M^2$  zeigt eine «alte» Vorjochkante. Die Nachjochkante verläuft meist nach hinten zum Schlusscingulum. Es gibt jedoch auch Exemplare, bei welchen sie in den Hypoconus-Vorderarm mündet. Beide Verbindungen kommen auch zusammen vor. Mit dem Mesoloph und dem rückwärtigen Paraconus-Sporn verhält es sich wie am

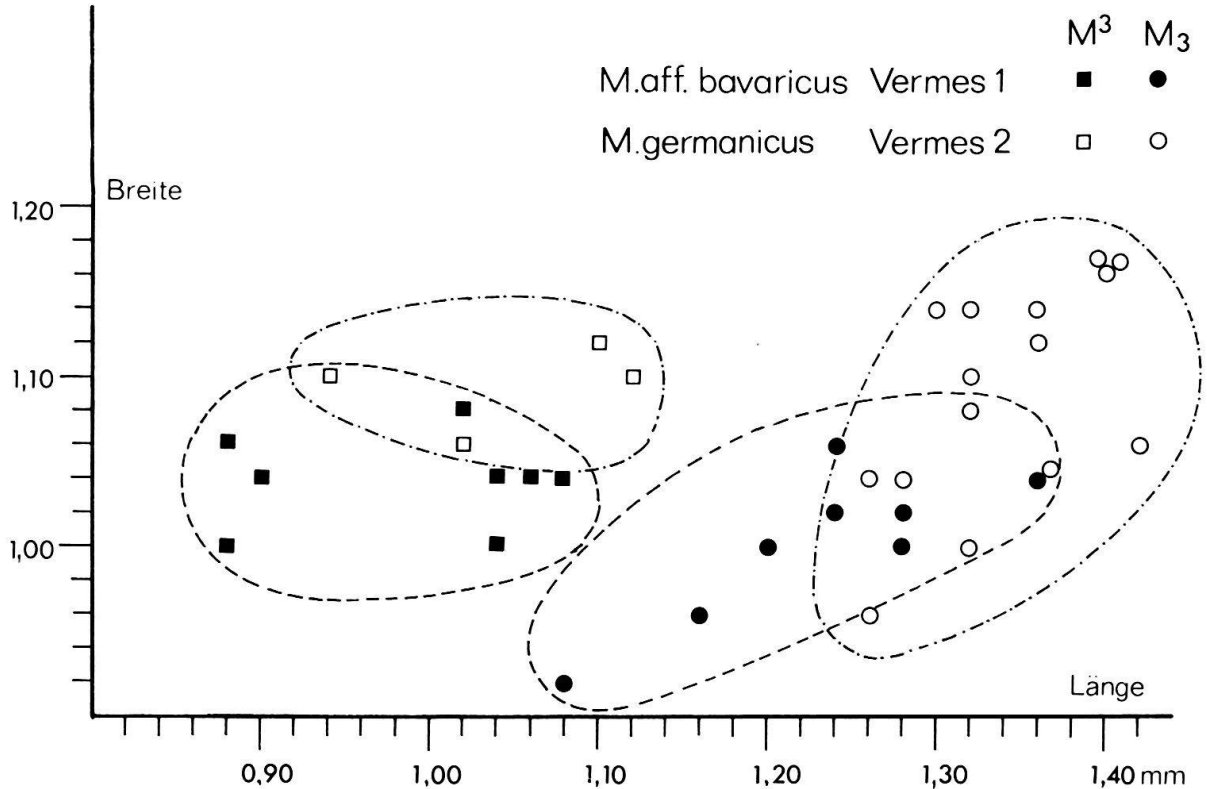


Fig. 16. Längen-Breiten-Diagramm der  $M_3$  von *Megacricetodon* aff. *bavaricus* von Vermes 1 und *M. germanicus* von Vermes 2.

M<sup>1</sup>. Wie am M<sup>1</sup>, so ist auch am M<sup>2</sup> gelegentlich ein innerer Quersporn in der Innenbucht zu beobachten.

Der M<sup>3</sup> ist sehr klein und fast so lang wie breit. Der Metaconus ist fast ganz verschwunden, der Hypoconus ist ebenfalls reduziert. Das Vordercingulum ist nur auf der Labialseite ausgebildet.

*Diskussion.* – Seinem Bau nach ist *M. germanicus* bestimmt als primitiver einzustufen als *M. gregarius*. Dies äussert sich vor allem in der meist ungeteilten Vorderknospe des M<sub>1</sub>, im relativ häufigen Auftreten eines Ansatzes der «alten» Vorjochkante am M<sup>1</sup> und in der durchwegs gross angelegten hintersten Labialsynklinale des M<sup>1</sup>. Andererseits ist *M. germanicus* im Durchschnitt etwas grösser als *M. gregarius*. Dies hat für die Alterseinstufung allerdings wenig Bedeutung, da die beiden Arten wohl verschiedenen Entwicklungslinien angehören. JULLIEN, GUÉRIN, HUGUENEY & MEIN (1979) führen das Vorkommen von zwei verschiedenen Entwicklungslinien auf den Meeresarm zurück, welcher im Mittelmiozän das Rhonetal erfüllte und für Kleinsäuger eine Barriere bildete. Die Fundstellen Vermes und Anwil, jene in der bayerischen Molasse und Collet-Redon (Südfrankreich), die *M. germanicus* geliefert haben, befanden sich demnach auf der östlichen Seite dieses Meeresarmes, während La Grive mit *M. gregarius* auf der Westseite lag.

Rein morphologisch gesehen ist es durchaus denkbar, dass sich *M. germanicus* aus *M. aff. bavaricus* (z. B. von Vermes 1) und diese Form wiederum aus *M. bavaricus* entwickelt hat. Von der Morphologie her ist einer solchen Ableitung nichts entgegenzuhalten, vor allem auch nicht, weil die Übergänge zwischen den einzelnen Formen fließend sind. So könnte man denn die grössere *Megacricetodon*-Form von Vermes 1 genausogut *M. aff. germanicus* nennen anstatt *M. aff. bavaricus*. Der letzteren Möglichkeit wurde der Vorzug gegeben, da zwischen den *Megacricetodon*-Formen von Vermes 1 und 2, abgesehen von dem Grössenunterschied, auch einige morphologische Unterschiede zu beobachten sind: So zeigt der M<sub>1</sub> der grösseren Form von Vermes 1 weit häufiger eine leicht gespaltene Vorderknospe als jener von *M. germanicus*. Und ein Ansatz für eine «alte» Vorjochkante ist an den M<sup>1</sup> von Vermes 1 seltener zu erkennen. Um bezüglich dieser Unterschiede sicherzugehen, bedürfte es allerdings eines grösseren Materials, als es heute von beiden Fundhorizonten zur Verfügung steht. Der Grössenunterschied zwischen den beiden Formen ist jedoch recht bedeutend und lässt sich auch metrisch gut erfassen (vgl. Fig. 15, 16).

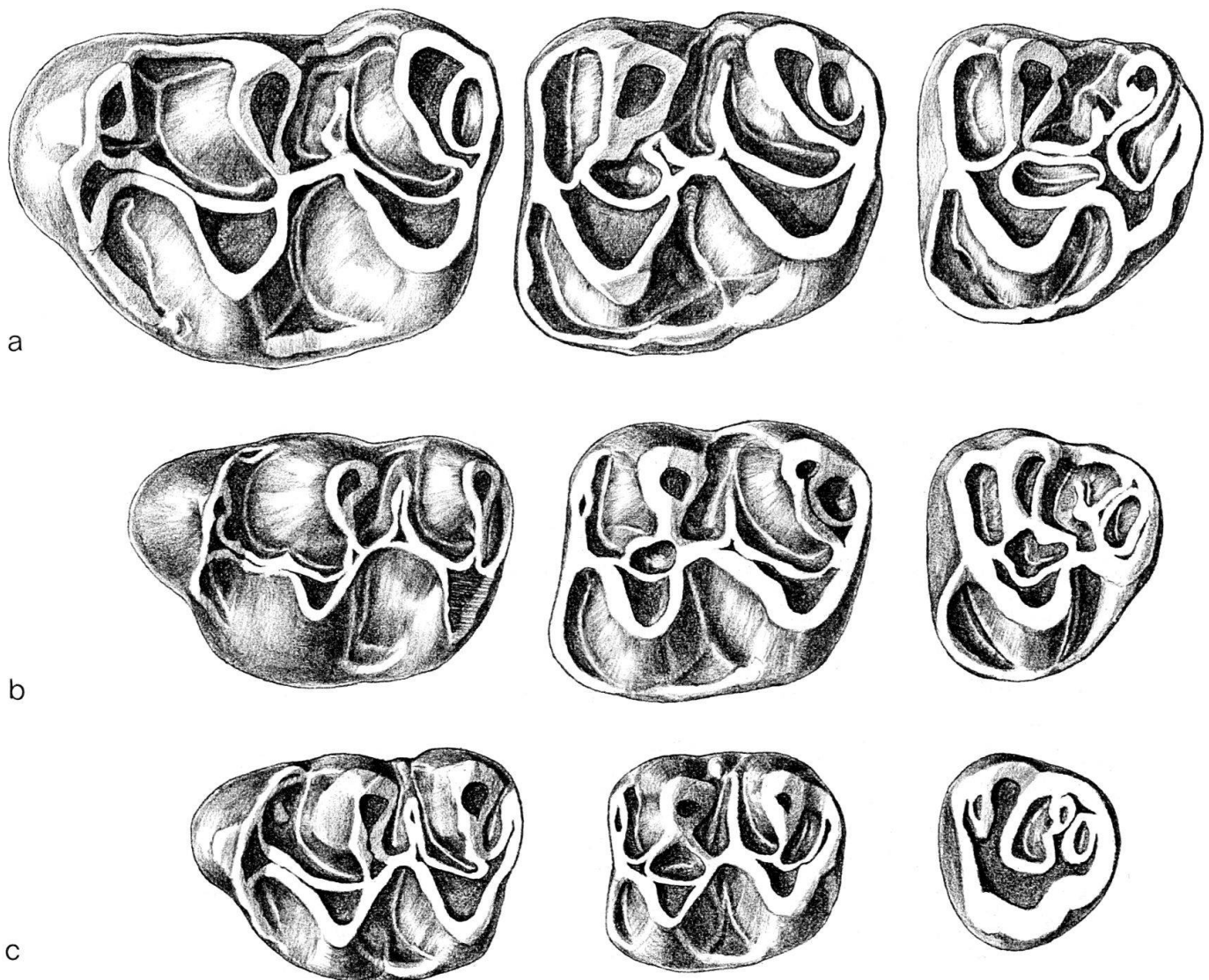
Wie bereits erwähnt, kommt *M. germanicus* bei der Altersbestimmung der Fauna von Vermes 2 eine zentrale Bedeutung zu. Diese Art ist bisher nur von Fundstellen bekannt, die allgemein ins oberste Mittelmiozän eingestuft werden (NM 7 oder 8): Anwil, Collet-Redon, Oggenhof. Sehr aufschlussreich für die Altersfrage ist hierbei ein Vergleich mit *M. germanicus* von Anwil (vgl. ENGESSER 1972), der Typlokalität dieser Art. Diese Fundstelle wurde als «Schlüssellokalität» (reference locality) der Säugetierzone NM 8 ausgewählt (vgl. FAHLBUSCH 1976). Gegenüber der Form von Anwil erweist sich jene von Vermes 2 als etwas grösser. Ungefähr gleiche Dimensionen wie die Population von Vermes 2 zeigt auch jene von Collet-Redon, einer Fundstelle, die ebenfalls in NM 8 eingestuft wird (vgl. JULLIEN et al. 1979). Aufgrund von *M. germanicus* müsste demnach die Fauna von Vermes 2 ebenfalls in NM 8 eingestuft werden.

Genus *Democricetodon* FAHLBUSCH 1964*Democricetodon gracilis* FAHLBUSCH 1964 von Vermes 1

Fig. 17c, 19b

*Material.* – 1 Mand. sin.  $M_1$ – $M_3$ , 10 Einzelzähne.

Diese sehr kleine Art von *Democricetodon* ist in der Fauna von Vermes 1 recht selten. Neben den kleinen Dimensionen ist diese Art gekennzeichnet durch die kurze, schmale Vorderknospe des  $M_1$ , das kurze Mesolophid von  $M_1$  und  $M_2$  und den langen Mesoloph von  $M^1$  und  $M^2$ . Das Zahnmaterial von Vermes 1 stimmt morphologisch sehr gut mit den Stücken aus der bayerischen Molasse überein, von wo *D. gracilis* zuerst auch beschrieben worden ist (FAHLBUSCH 1964). Grössenmässig

Fig. 17. Vergleich der Oberkiefermolaren der verschiedenen *Democricetodon*-Arten von Vermes.

a = *D. cf. freisingensis* FAHLBUSCH 1964 von Vermes 2, Max. sin.  $M^1$ – $M^3$  ( $M^1$  invers), Vs. 468, ehemals Samml. Bodmer; b = *D. mutilus* FAHLBUSCH 1964 von Vermes 1,  $M^1$ – $M^3$  (zusammengesetzt),  $M^1$ : Vs. 470 (invers),  $M^2$ : Vs. 494,  $M^3$ : Vs. 502 (invers); c = *D. gracilis* FAHLBUSCH 1964 von Vermes 1,  $M^1$ – $M^3$  (zusammengesetzt),  $M^1$ : Vs. 510 (invers),  $M^2$ : Vs. 512,  $M^3$ : Vs. 514. Alle Figuren  $\times 25$ .

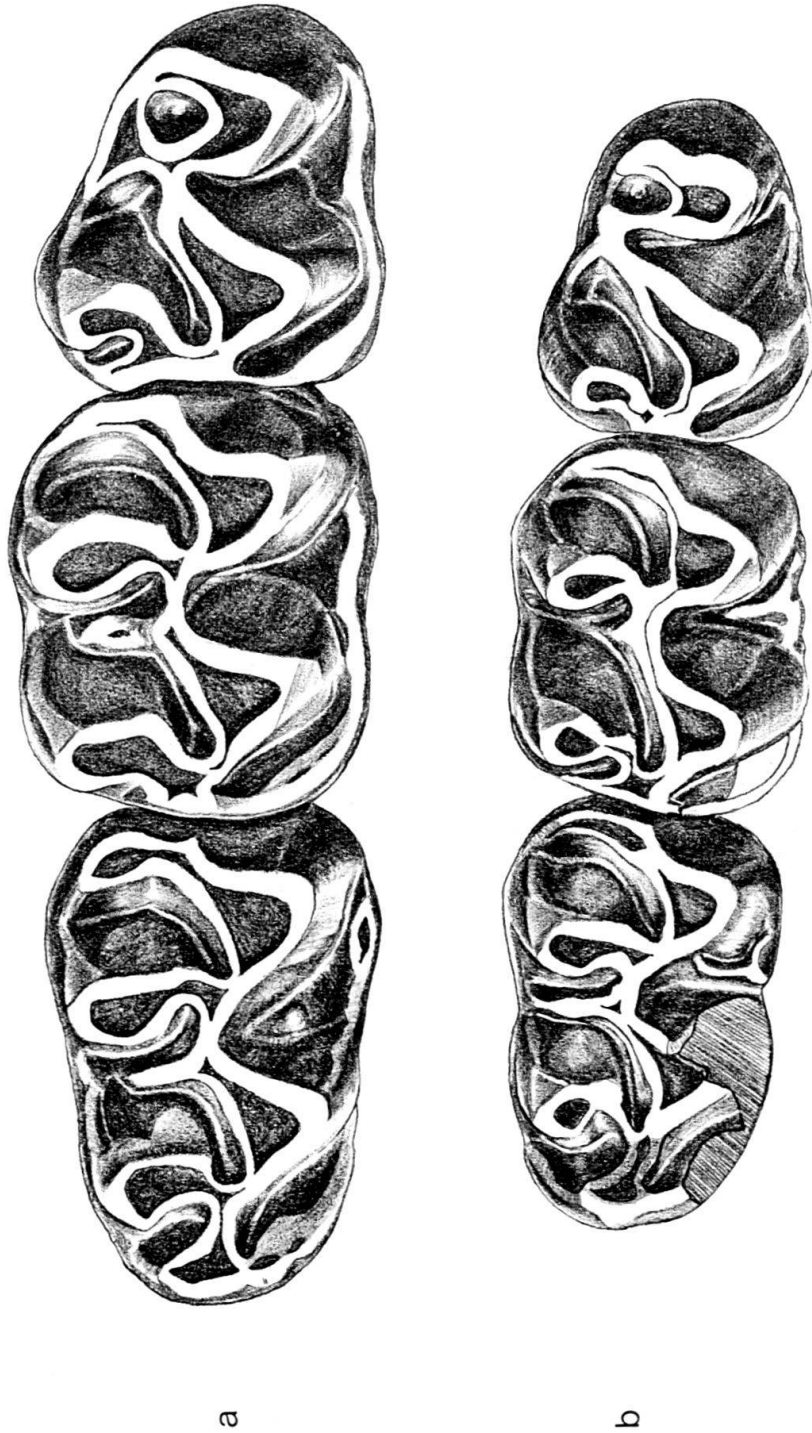


Fig. 18. Die Unterkiefermolaren der beiden *Democricetodon*-Arten von Vermes 2.  
 a = *D. cf. freisingensis* FAHLBUSCH 1964 von Vermes 2, Mand. sin.  $M_1-M_3$ , Vs. 469, Samml. Bodmer;  
 b = *D. cf. mutilus* FAHLBUSCH 1964 von Vermes 2, Mand. sin.  $M_1-M_3$ , Vs. 256, Beide Figuren  $\times 25$ .

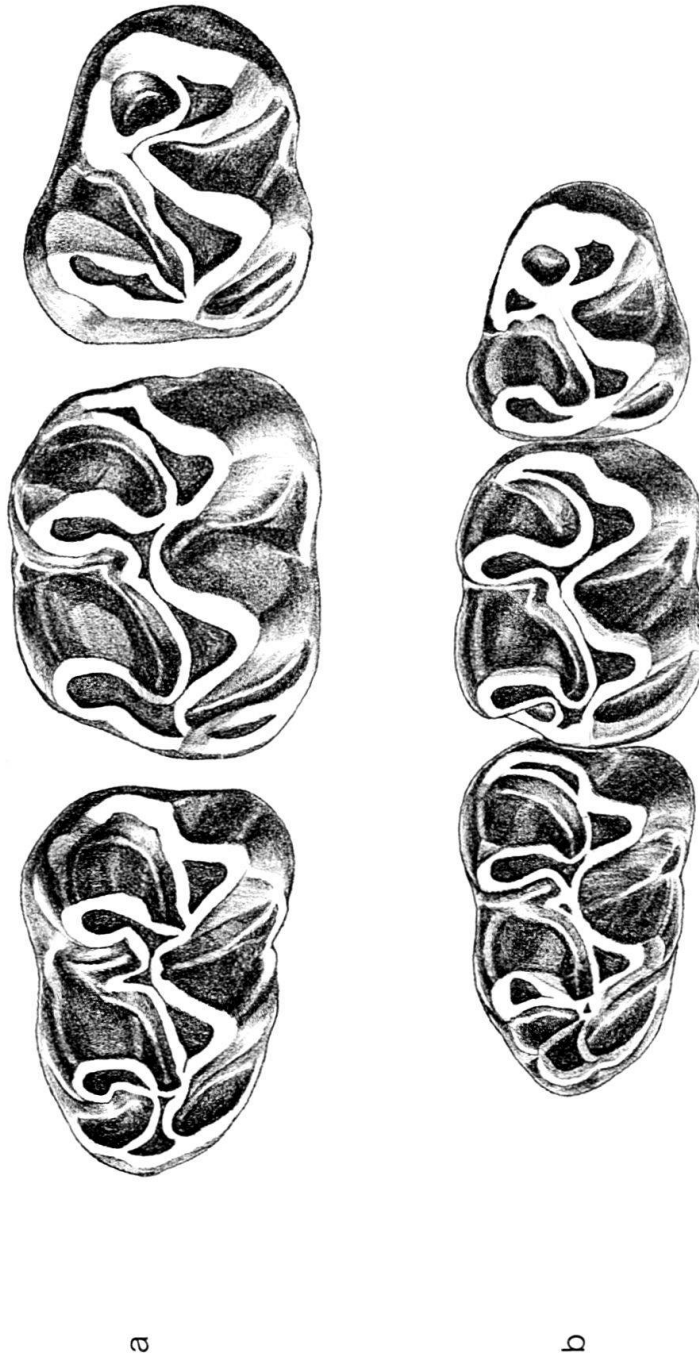


Fig. 19. Die Unterkiefermolaren der beiden *Democricetodon*-Arten von Vermes I.  
 a = *D. mutilus* FAHLBUSCH 1964 von Vermes I, Mand. sin.  $M_1$ - $M_3$  (zusammengesetzt),  $M_1$ : Vs. 482 (invers),  $M_2$ : Vs. 485 (invers),  $M_3$ : Vs. 487 (invers); b = *D. gracilis* FAHLBUSCH 1964 von Vermes I, Mand. sin.  $M_1$ - $M_3$ , V3, Samml. B. Engesser. Beide Figuren  $\times 25$ .

liegen die Stücke von Vermes 1 im oberen Teil des Grössenbereiches der bayerischen Formen.

*Masse* (mm)

M <sup>1</sup>	1.56 × 1.06	M <sub>1</sub>	1.42 × 1.04
	1.58 × 1.10		1.44 × 0.96
M <sup>2</sup>	1.14 × 1.02	M <sub>2</sub>	1.24 × 1.04
	1.20 × 1.08		1.34 × 1.12
M <sup>3</sup>	0.86 × 0.92	M <sub>3</sub>	1.04 × 0.92

*D. gracilis* hat eine relativ grosse stratigraphische Verbreitung: Diese Art ist von NM 5–7 bekannt (Langenmoosen bis Oggenhof). Sie ist deshalb für feinstratigraphische Belange von untergeordneter Bedeutung.

*Democricetodon mutilus* FAHLBUSCH 1964 von Vermes 1

Fig. 17b, 19a

*Material.* – 32 Einzelzähne.

Ebenfalls mit einer Art aus der bayerischen Molasse vergleichbar ist die grössere *Democricetodon*-Form von Vermes 1: *D. mutilus*. Charakteristisch für diese Art ist die sehr kurze Vorderknospe des M<sub>1</sub> und die schmale, deutlich vom Rest der Zahnkrone abgegliederte Vorderknospe des M<sup>1</sup>. Diese beiden Merkmale, in welchen sich *D. mutilus* von der sonst sehr ähnlichen Art *D. affinis* (SCHAUB) unterscheidet, zeigen die Exemplare von Vermes 1 in sehr deutlicher Ausprägung. Von letzterer Art unterscheidet sich *D. mutilus* auch durch etwas geringere Dimensionen. Auch in dieser Hinsicht stimmen die Zähne von Vermes 1 sehr gut mit der Form aus der bayerischen Molasse überein (FAHLBUSCH 1964).

*Masse* (mm)

	Länge			Breite			n
	Min.	Durchschnitt	Max.	Min.	Durchschnitt	Max.	
M <sup>1</sup>	1,82	1,96	2,08	1,24	1,29	1,36	6
M <sup>2</sup>	1,40	1,49	1,54	1,16	1,28	1,36	8
M <sup>3</sup>	1,02	1,11	1,22	1,10	1,18	1,22	6
M <sub>1</sub>	1,56	1,62	1,72	1,08	1,13	1,24	6
M <sub>2</sub>	1,56	1,59	1,62	1,30	1,32	1,34	4
M <sub>3</sub>	1,36		1,42	1,14		1,20	2

Noch grösser als bei *D. gracilis* ist die stratigraphische Verbreitung von *D. mutilus*: Diese Art ist von NM 4 (Vieux Collonges) bis NM 7 (Oggenhof) dokumentiert. Und selbst aus der Zone NM 8 ist noch eine *D. mutilus* sehr ähnliche Form beschrieben: *D. cf. mutilus* von Giggenhausen (vgl. FAHLBUSCH 1964, S. 44). Abgesehen von einer gewissen Grössenzunahme zwischen der Form von Vieux Collonges und jenen der bayerischen Molasse, sind bei dieser Art während dieses langen Zeitraumes keinerlei Entwicklungen zu beobachten. Es ist jedoch sehr gut möglich, dass sich hinter dem einfachen Zahnmuster von *D. mutilus* eine ganze Reihe biologischer Arten und möglicherweise verschiedene Entwicklungslinien verbergen und es aufgrund der Molaren-Morphologie einfach unmöglich ist, sie zu unterscheiden. Es

ist daher leicht einzusehen, dass *D. mutilus* für stratigraphische Zwecke wenig brauchbar ist.

*Democricetodon* cf. *mutilus* FAHLBUSCH 1964 von Vermes 2

Fig. 18b

*Material.* – 1 Mand. sin. I, M<sub>1</sub>–M<sub>3</sub>, 1 Einzelzahn.

*Masse* (mm)

Vs. 256	M <sub>1</sub>	1,80 × 1,12	Vs. 256	M <sub>3</sub>	1,40 × 1,16
Vs. 256	M <sub>2</sub>	1,44 × 1,24	Vs. 109	M <sub>1</sub>	1,74 × 1,20

Von der Fundstelle Vermes 2 liegen zwei Stücke vor, welche grössenmässig leicht von *D. mutilus* von Vermes 1 abweichen, morphologisch hingegen wenig Unterschiede zeigen. Einzig das Mesolophid des M<sub>1</sub> auf dem Mandibelfragment ist sehr lang, wie es an keinem M<sub>1</sub> der Form von Vermes 1 zu beobachten ist. Das Mesolophid des andern M<sub>1</sub> wiederum ist nur halblang. Der M<sub>2</sub> des Mandibelfragmentes dagegen besitzt nur einen Ansatz zu einem Mesolophid. Der M<sub>1</sub> und der M<sub>2</sub> des Kieferfragmentes zeigen ausserdem ein Merkmal, welches an keinem Stück von Vermes 1 zu beobachten ist: einen Quersporn in der Aussenbucht. FAHLBUSCH (1964) hat von Giggenhausen in Bayern eine Form als *D. cf. mutilus* beschrieben, welche mit jener von Vermes 2 in Morphologie und Grösse gut übereinstimmt, soweit man dies bei so einem kleinen Material überhaupt sagen kann (auch von Giggenhausen sind nur 5 Zähne bekannt). Da die Fauna von Giggenhausen in die Zone von NM8 gestellt wird, kann man im Vorkommen von *D. cf. mutilus* in Vermes 2 einen weiteren Hinweis für ein ähnliches Alter dieser Fauna sehen.

*Democricetodon* cf. *freisingensis* FAHLBUSCH 1964

Fig. 17a, 18a

*Material.* – 1 Mand. sin. I, M<sub>1</sub>–M<sub>3</sub>; 1 Max. dext. I, M<sup>1</sup>–M<sup>2</sup>; 1 Max. sin. I, M<sup>2</sup>–M<sup>3</sup>.

*Masse* (mm)

Vs. 469	M <sub>1</sub>	2,00 × 1,32	Vs. 468	M <sup>1</sup>	2,20 × 1,56
	M <sub>2</sub>	1,74 × 1,44		M <sup>2</sup>	1,68 × 1,56
					1,72 × 1,56
	M <sub>3</sub>	1,56 × 1,36		M <sup>3</sup>	1,32 × 1,44

In der Sammlung Bodmer liegen ein Schädelfragment und ein Unterkiefer einer sehr grossen *Democricetodon*-Form, welche in den andern Sammlungen nicht repräsentiert ist. Wie bei den meisten Stücken aus der Sammlung Bodmer ist das genaue Fundniveau im Profil nicht bekannt. Nach dem Evolutionsgrad zu schliessen müssen die beiden Stücke jedoch von Vermes 2 oder aus einem jüngeren Niveau stammen. Jedenfalls passt diese Form gar nicht ins altertümliche Gepräge der Fauna von Vermes 1, und zudem wäre zu erwarten, dass man sie da wieder gefunden hätte, würde sie wirklich vom Fundhorizont Vermes 1 stammen.

Die Zähne sind ausserordentlich gross. Der M<sup>1</sup> übertrifft in der Grösse sämtliche Exemplare von *D. freisingensis* von Anwil und Giggenhausen und von *D. gaillardi*

von Sansan (vgl. ENGESSER 1972, Diagramm 39). Morphologisch zeigen die Stücke von Vermes die beste Übereinstimmung mit *D. freisingensis*. Einige Unterschiede verunmöglichen es allerdings, die beiden Kieferfragmente vorbehaltlos zu dieser Art zu stellen. So fehlt dem  $M^1$  der vordere Quersporen, der nach FAHLBUSCH für die Art typisch ist, jedoch auch bei der Form von Anwil einigen wenigen Exemplaren fehlt. Auch ist der Hinterabhang der Vorderknospe des  $M_1$  wenig gegliedert, und das Mesolophid der untern sowie der Mesoloph der obern ersten beiden Molaren sind nur halblang. Ferner fehlt auch der äussere Quersporen der untern Molaren. In denselben Merkmalen unterscheidet sich diese Form von Vermes auch von *D. gaillardi* (vgl. ENGESSER 1979, Tf. 19, Fig. a)<sup>5</sup>). An anderer Stelle (vgl. ENGESSER 1972, S. 262) wurde bereits auf die Schwierigkeit hingewiesen, die Arten *D. gaillardi* und *D. freisingensis* (damals noch eine Unterart von *D. gaillardi*) zu unterscheiden. Im grossen Material von *D. freisingensis* von Anwil finden sich einige  $M^1$ , welche eine derart stark zweigeteilte Vorderknospe zeigen, wie es bei *D. gaillardi* von Sansan nie zu beobachten ist. Da der  $M^1$  von Vermes dieses Merkmal fast noch stärker ausgebildet hat als jene Form von Anwil und diesen fortschrittlichen Zähnen auch grössermässig sehr nahesteht (vgl. ENGESSER 1972, Diagramm 39), ist man geneigt, die Form von Vermes eher *D. freisingensis* zuzuordnen als *D. gaillardi*. Möglicherweise haben wir es bei der Form von Vermes mit einer neuen Art zu tun. Für eine Beschreibung reicht jedoch das Material nicht aus.

Zweifellos haben wir mit *D. cf. freisingensis* von Vermes eine sehr evoluierte Form von *Democricetodon* vorliegen, die in mancher Hinsicht bereits an die obermiozäne Gattung *Rotundomys* erinnert. Und wenn wir den genauen Fundhorizont dieser Stücke auch nicht kennen, so besitzen wir in dieser Form doch ein wichtiges Argument für die These, dass im Profil von Vermes neben der altertümlichen Fauna von Vermes 1 noch eine sehr fortschrittliche vorkommt.

#### Familie *Eomyidae* DEPÉRET & DOUXAMI 1902

Eomyidenzähne gehören in Vermes zu den grössten Seltenheiten. Dies mag z. T. damit zusammenhängen, dass an der Fundstelle von Vermes 2 nie geschlämmt wurde. Von blossen Auge sind die Zähne dieser kleinen Nager kaum zu finden. So ist denn auch von Vermes 2 kein einziger Zahn von dieser Familie belegt.

#### *Keramidomys thaleri* HUGUENEY & MEIN 1968 von Vermes 1

Fig. 20

*Material.* – 6 Einzelzähne.

*Masse* (mm)

$M_1$	0,72 × 0,76	$M^1$	0,66 × 0,74
$M_3$	0,70 × 0,72	$M^2$	0,66 × 0,76
$M^1$	0,76 × 0,82		0,66 × 0,80

Bisher haben die Fundstellen von Vermes 1 zwei untere und vier obere Molaren von *Keramidomys* geliefert. Diese Zähne zeigen ein sehr einfaches Zahnmuster und

<sup>5</sup>) Auf der zitierten Figur ist irrtümlicherweise anstelle des  $M_3$  von *D. gaillardi* ein  $M_3$  von *Eumyarion medius* ebenfalls von Sansan abgebildet.

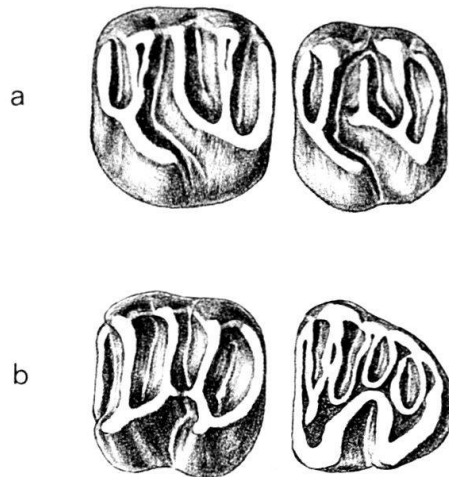


Fig. 20. *Keramidomys thaleri* HUGUENEY & MEIN 1968 von Vermes I.

a = M<sup>1</sup> und M<sup>2</sup> sin., Vs. 517 und Vs. 520 (beide invers); b = M<sub>1</sub> und M<sub>3</sub> sin., Vs. 515 und Vs. 516 (beide invers). Alle Figuren × 25.

sind sehr klein. An den obern Molaren ist die erste Aussensynklinale durchwegs sehr klar ausgebildet. Der M<sub>3</sub> ist wenig reduziert. Der M<sub>1</sub> ist relativ bunodont. Diese Merkmale sind charakteristisch für *K. thaleri*. Grössenmässig liegen die Zähne sehr schön im Bereich dieser Art (vgl. HUGUENEY & MEIN 1968, S. 191). *K. mohleri* ENGESSER 1972 zeigt ähnliche Merkmale, ist jedoch deutlich grösser. Die beiden vordern oberen Molaren von *K. carpathicus* (SCHAUB & ZAPFE 1953) von Neudorf und Sansan<sup>6</sup>) weisen meist eine reduzierte erste Aussensynklinale auf, sind weniger bunodont und besitzen einen stärker reduzierten M<sub>3</sub> (vgl. ENGESSER 1972, Abb. 66, 2 und 3).

*K. thaleri* ist bisher nur aus den Säugetierzonen NM 4 und 5 bekannt: von den Fundstellen Vieux Collonges, Franzensbad, Langenmoosen<sup>7</sup>), Massendorf<sup>7</sup>) und Niederaichbach<sup>7</sup>). Das Vorkommen dieser Art in Vermes I ist ein weiterer Hinweis auf das relativ hohe Alter dieser Fauna.

#### Familie *Sciuridae* GRAY 1821

##### *Spermophilinus* aff. *bredai* H. VON MEYER 1848 von Vermes I

Fig. 21a

*Material.* - 17 Einzelzähne.

Die häufigste Eichhörnchen-Art von Vermes I ist eine Form, deren Molaren sich durch ein ganz einfaches Zahnmuster und kleine Dimensionen auszeichnen. Das Zahnmuster ist jenem von *Sciurus vulgaris* ähnlich: An den untern Molaren ist meist

<sup>6</sup>) *Keramidomys octaviae* BAUDELLOT 1972 von Sansan wird als jüngeres Synonym von *K. carpathicus* betrachtet (vgl. FAHLBUSCH 1975).

<sup>7</sup>) Die *Keramidomys*-Materialien von Langenmoosen (vgl. FAHLBUSCH 1975), Massendorf und Niederaichbach (vgl. SCHÖTZ 1979) wurden von den Autoren, die sie beschrieben, zu *K. carpathicus* gestellt. Wegen der oben geschilderten Merkmale an den M<sup>1</sup> und M<sup>2</sup> (schwächerer Ectoloph und nicht reduzierte 1. Aussensynklinale, Merkmale, die von HUGUENEY & MEIN 1968 besonders hervorgehoben werden) scheinen diese Formen eher zu *K. thaleri* zu gehören.

kein Entoconid und kein Mesostylid erkennbar; die obern Molaren zeigen durchwegs ein kleines Mesostyl.

Die Form von Vermes 1 stimmt morphologisch sehr gut mit *S. bredai* überein, ist jedoch deutlich kleiner. Eine sehr gute Übereinstimmung in der Grösse zeigt sie mit einer Form von Vieux Collonges, welche MEIN (1958) als *S. aff. bredai* bestimmt hat.

*Spermophilinus bredai* von Sansan, La Grive und Anwil ist bedeutend grösser.

*Masse (mm)*

	n	Länge			Breite		
		Min.	Durchschnitt	Max.	Min.	Durchschnitt	Max.
M <sub>1</sub>	5	1.54	1.55	1.56	1.40	1.54	1.64
M <sub>2</sub>	3	1.60	1.70	1.80	1.76	1.83	1.88
M <sub>3</sub>	2	1.84	1.91	1.98	1.76	1.80	1.84
P <sup>4</sup>	2	1.36	1.44	1.52	1.72	1.74	1.76
M <sup>1/2</sup>	2	1.50	1.53	1.56		1.84	
M <sup>3</sup>	2	1.88	1.96	2.04	1.80	1.86	1.92

*Spermophilinus bredai* H. VON MEYER 1848

*Material.* – 1 Einzelzahn.

Aus der Sammlung Bodmer liegt ein M<sup>1/2</sup> von Vermes vor, der deutlich grösser ist als *S. aff. bredai* von Vermes 1. Mit seinen Dimensionen (1,72 × 2,10 mm) liegt er sehr schön im Grössenbereich von *S. bredai* von La Grive und Anwil.

Wie bei fast allen Stücken aus der Sammlung Bodmer ist der genaue Fundort nicht bekannt. Wahrscheinlich stammt es von Vermes 2, wo es mit seinem Evolutionsniveau sehr gut hinpassen würde. Morphologisch ist der Zahn nicht von entsprechenden Molaren von *S. bredai* von La Grive und Anwil zu unterscheiden.

*Sciurus cf. fissurae* DEHM 1950 von Vermes 1

Fig. 21b

*Material.* – 2 Einzelzähne.

Zwei leicht beschädigte untere Molaren belegen das Vorkommen einer sehr grossen Sciuriden-Form in der Fauna Vermes 1. Die beiden Zähne sind bedeutend grösser (M<sub>1</sub>: 2,20 × 2,20 mm, M<sub>2</sub>: 2,28 × 2,36 mm) als entsprechende Molaren von *Spermophilinus bredai* von La Grive, Sansan und Anwil. Im Vergleich zu dieser Art zeigen sie auch ein deutlicher ausgebildetes Entoconid und ein wohlentwickeltes Mesostylid.

MEIN (1958) hat eine sehr ähnliche Sciuriden-Form unter dem Namen *S. fissurae* von Vieux Collonges beschrieben. Diese besitzt ebenfalls ein deutliches Entoconid an den untern Molaren und ein deutlich vom Hypoconid-Metaconid-Verbindungsgrat abgegliedertes Mesostylid. Auch in der Grösse ist die Übereinstimmung der Form von Vermes und jener von Vieux Collonges gross.

Eine ähnliche Sciuriden-Art mit jedoch noch etwas grösseren Dimensionen ist aus den Faunen von Rümikon und Schwamendingen (beide Kanton Zürich) bekannt.

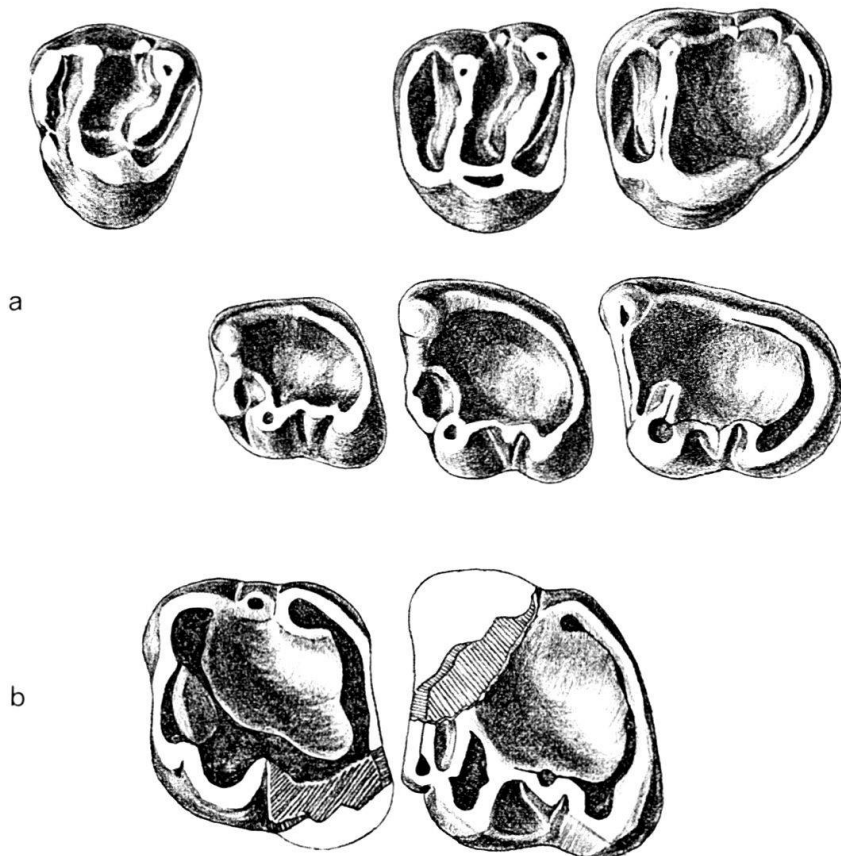


Fig. 21. a = *Spermophilinus* aff. *bredai* H. VON MEYER 1848 von Vermes 1. P<sup>4</sup>-M<sup>3</sup> sin. (zusammengesetzt), P<sup>4</sup>: Vs. 538, M<sup>1/2</sup>: Vs. 539, M<sup>3</sup>: Vs. 540 (invers); M<sub>1</sub>-M<sub>3</sub> sin. (zusammengesetzt), M<sub>1</sub>: Vs. 535 (invers), M<sub>2</sub>: Vs. 536, M<sub>3</sub>: Vs. 537 (invers). b = *Sciurus* cf. *fissurae* DEHM 1950 von Vermes 1. M<sub>1</sub>: Vs. 541 (invers), M<sub>2</sub>: Vs. 542. Alle Figuren × 12.

*Heteroxerus* cf. *huerzeleri* STEHLIN & SCHAUB 1951 von Vermes 1

Fig. 22

*Material.* - 10 Einzelzähne.

Die Gattung *Heteroxerus* ist in Vermes 1 durch eine Form vertreten, welche ebenfalls Ähnlichkeiten mit einer Form von Vieux Collonges hat: *Heteroxerus huerzeleri*. Die untern Molaren dieser Form zeichnen sich durch ein sehr kräftig entwickeltes Entoconid aus, welches durch einen Grat mit dem ebenfalls deutlich ausgebildeten Hypoconulid verbunden ist. Die hintere Trigonid-Kante von M<sub>1</sub> und M<sub>2</sub> ist unterbrochen.

Da von der Typusform dieser Art - *H. huerzeleri* von Vermes 2 - nur der M<sub>1</sub> und M<sub>2</sub> bekannt sind, gerade diese beiden Zähne jedoch im Material von Vermes 1

*Masse* (mm)

	n	Länge			Breite		
		Min.	Durchschnitt	Max.	Min.	Durchschnitt	Max.
M <sup>1/2</sup>	7	1,56	1,66	1,84	1,80	1,99	2,08
M <sup>3</sup>	2	1,74	1,75	1,76	1,68	1,69	1,70
M <sub>3</sub>	1		2,00			1,72	

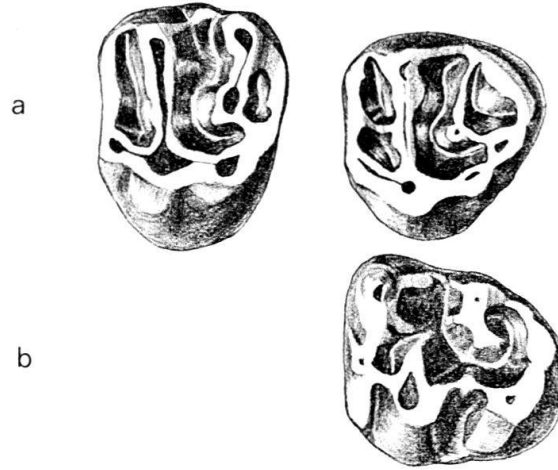


Fig. 22. *Heteroxerus* cf. *huerzeleri* STEHLIN & SCHAUB 1951 von Vermes 1.

a =  $M^{1/2}$  sin.: Vs. 543 und  $M^3$  sin.: Vs. 544; b =  $M_3$  sin.: Vs. 545 (invers). Alle Figuren  $\times 12$ .

fehlen, kann man die Form von Vermes 1 nur mit Vorbehalt zu dieser Art stellen. Ausserdem scheint die Nominalform der Art von Vermes 2 etwas grösser zu sein. In der Grösse stimmt *H. cf. huerzeleri* sehr gut mit der Formt von Vieux Collonges überein.

*Heteroxerus huerzeleri* STEHLIN & SCHAUB 1951 von Vermes 2

*Material.* – 1 Mand. sin.  $M_1$ – $M_2$  (Holotyp); 1 Einzelzahn.

Die Fundstelle Vermes 2 hat ein Kieferstück geliefert, welches STEHLIN & SCHAUB (1951) zum Holotyp von *H. huerzeleri* erkoren. Leider ist ausser diesem Stück von dieser Fundstelle nur noch ein einzelner  $M_1$  bekannt. STEHLIN & SCHAUB (1951, S.200, 359) charakterisieren diese Art durch die unterbrochene hintere Trigonid-Kante von  $M_1$  und  $M_2$  und das deutlich sichtbare Hypoconulid, welches mit dem Entoconid durch einen Grat verbunden ist (STEHLIN & SCHAUB 1951, Abb.300).

Von manchen Autoren wurden *Heteroxerus*-Formen aus den verschiedensten stratigraphischen Bereichen als *H. huerzeleri* bestimmt. Diese Zuordnungen sind sehr unsicher, da die Art von Vermes so schlecht bekannt ist. Es ist deshalb kaum etwas über die stratigraphische Verbreitung dieser Art bekannt.

*Blackia* sp. von Vermes 1

*Material.* – 2 Zahnfragmente.

Durch je ein Fragment eines unteren und eines oberen Molaren ist die Flughörnchen-Gattung *Blackia* in der Fauna von Vermes 1 belegt. Die Zähne sind winzig klein und lassen an einigen Stellen die für *Blackia* charakteristische Schmelzstruktur erkennen.

*Miopetaurista lappi* (MEIN 1958) von Vermes 1

Fig. 23

1958 *Sciuropterus lappi* MEIN, S. 69, Fig. 102–109.

1970 *Cryptopterus lappi* MEIN, MEIN, S. 23, Fig. 15–21.

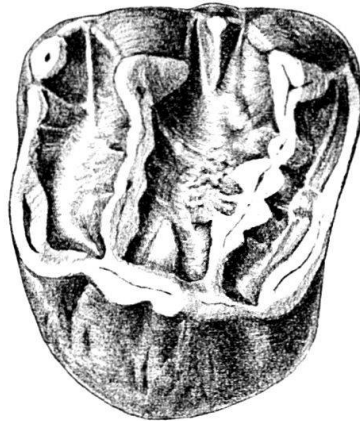


Fig. 23. *Miopetaurista lappi* (MEIN 1958) von Vermes 1. M<sup>1/2</sup> sin.: Vs. 546 (invers). × 12.

*Material.* – 1 Einzelzahn.

Nur durch einen einzelnen Molaren ist das Vorkommen von grossen Flughörnchen in Vermes dokumentiert. Dieser M<sup>1/2</sup> von erheblicher Grösse (3,00 × 3,62 mm) zeigt für einen Sciuropteren-Zahn ein sehr einfaches Zahnmuster: Die beiden Trigonum-Kanten besitzen kaum Zwischenhöcker. Die Schmelzrunzelung ist wenig ausgeprägt. Zwischen Paraconus und Metaconus sitzt ein kräftiges, frei stehendes Mesostyl. Zwischen den beiden Trigonum-Kanten ragt auf der Lingualseite des Protoconus ein kleiner Zusatzgrat («lophe accessoire») gegen die Zahnmitte. Ein Hypoconus ist als schwache Verdickung des Hintercingulums zu beobachten.

Das einfache Zahnmuster der oberen Molaren ist charakteristisch für die Gattung *Miopetaurista*. Ausser *Miopetaurista* sp. (= *Paracitellus* A in DEHM 1950) von Wintershof-West und *M. diescalidus* DAAMS 1977 von Buñol ist *M. lappi* die einzige Flughörnchen-Art, welche einen Zusatzgrat zwischen den beiden Trigonum-Kanten besitzt. In der Grösse passt die Form von Vermes 1 recht gut zur Art von Vieux Collonges. *M. lappi* war bisher nur von dieser letzteren Fundstelle bekannt.

#### Familie *Gliridae* THOMAS 1897

*Miodyromys* aff. *aegercii* BAUDELLOT 1972 von Vermes 1

Fig. 24

*Material.* – 52 Einzelzähne.

Der häufigste Gliride von Vermes 1 zeigt das sehr geläufige *Pseudodryomys-Miodyromys*-Zahnmuster mit isoliertem Anteroloph und langem vorderem Zentroloph an den oberen Molaren. Die untern Molaren besitzen in der Regel zwischen je zwei Hauptgraten einen Zusatzgrat. Nur bei wenigen untern Molaren kann die Wurzelzahl ermittelt werden: Bei den Exemplaren, welche die Wurzelansätze zeigen, sind an allen drei untern Molaren drei Wurzeln zu erkennen.

Gegenüber *M. aegercii* von Sansan, La Grive und Anwil ist die Form von Vermes 1 deutlich kleiner (vgl. Fig. 25). Sie steht grössenmässig zwischen *M. hama-dryas* und *M. aegercii*. Wegen der Wurzelzahl der untern Molaren kann die Form von Vermes 1 nicht zu ersterer Art gestellt werden, da bei dieser zumindest der M<sub>1</sub> immer nur zwei Wurzeln aufweist (vgl. MAYR 1979, S. 154).

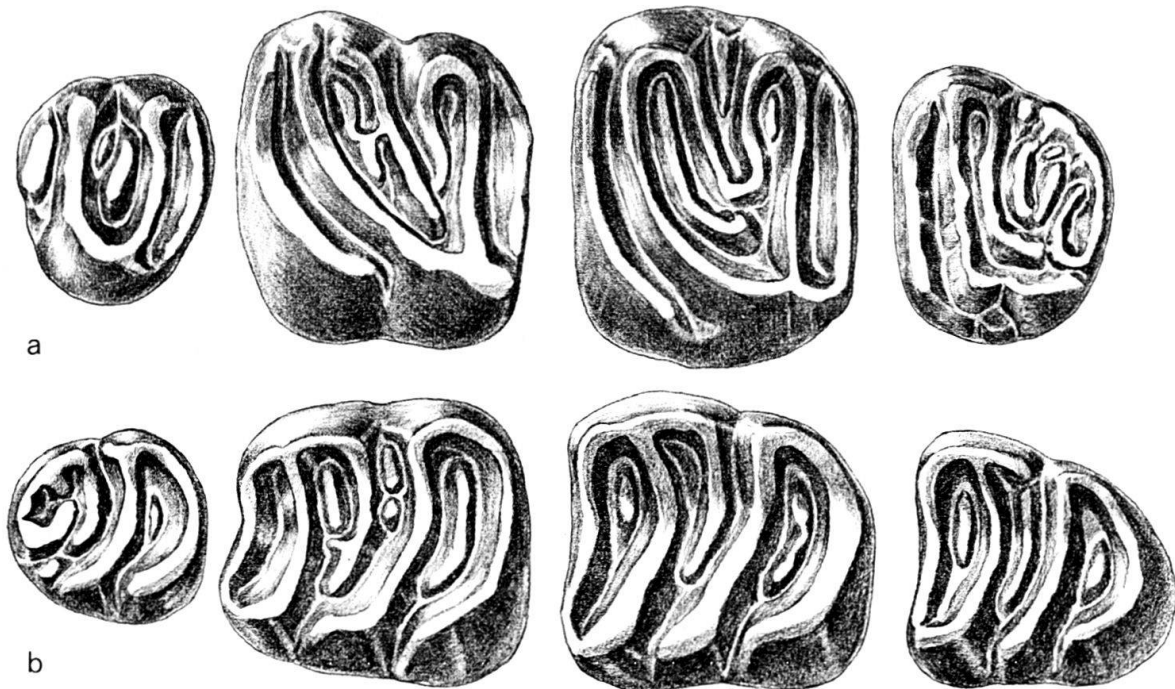


Fig. 24. *Miodyromys* aff. *aegercii* BAUDELLOT 1972 von Vermes 1.

a = P<sup>4</sup>-M<sup>3</sup> sin. (zusammengesetzt), P<sup>4</sup>: Vs. 547, M<sup>1</sup>: Vs. 548, M<sup>2</sup>: Vs. 549, M<sup>3</sup>: Vs. 550; b = P<sub>4</sub>-M<sub>3</sub> sin. (zusammengesetzt), P<sub>4</sub>: Vs. 551 (invers), M<sub>1</sub>: Vs. 552 (invers), M<sub>2</sub>: Vs. 553, M<sub>3</sub>: Vs. 554. Alle Figuren × 25.

*Masse* (mm)

	n	Länge			Breite		
		Min.	Durchschnitt	Max.	Min.	Durchschnitt	Max.
P <sup>4</sup>	6	0,82	0,89	0,96	0,84	0,88	0,92
M <sub>1</sub>	8	1,12	1,27	1,42	1,10	1,16	1,20
M <sub>2</sub>	12	1,08	1,29	1,48	1,16	1,26	1,44
M <sub>3</sub>	4	0,98	1,10	1,20	1,08	1,10	1,14
P <sup>4</sup>	3	0,80	0,86	0,92	0,96	1,04	1,12
M <sup>1/2</sup>	17	1,04	1,18	1,24	1,34	1,39	1,52
M <sup>3</sup>	2	0,94		1,00	1,10		1,16

*Miodyromys aegercii* BAUDELLOT 1972 von Vermes 2

*Material.* - 1 Max. P<sup>4</sup>-M<sup>2</sup> sin.; 1 Max. P<sup>4</sup>-M<sup>3</sup> dext.; 4 Einzelzähne.

Eine Zahnreihe des Maxillarfragmentes von Vermes 2 wurde bereits von STEHLIN & SCHAUB (1951, Abb. 200) beschrieben und abgebildet. Diese beiden Autoren ordneten es damals *Miodyromys hamadryas* zu. Dieser Gliride von Vermes 2 ist jedoch deutlich grösser als letztere Art und liegt im Grössenbereich von *M. aegercii*. Leider kann die Wurzelzahl der untern Molaren, welche für die Artbestimmung ausserdem noch wichtig wäre, nicht eruiert werden, da bisher kein solcher Zahn vorliegt.

Gegenüber der Form von Vermes 1 sind keine morphologischen Unterschiede festzustellen. Einzig eine gewisse Grössendifferenz kann beobachtet werden (Fig. 25).

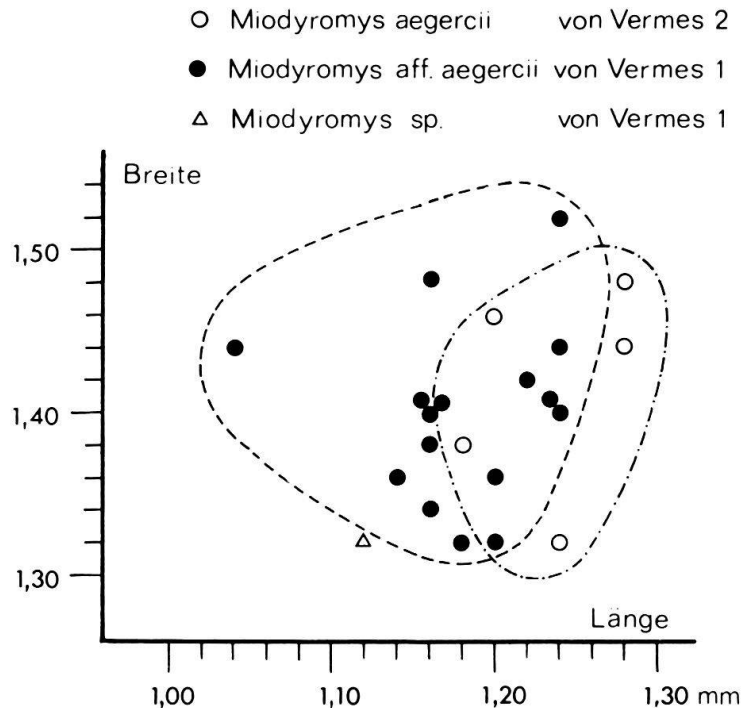


Fig. 25. Längen-Breiten-Diagramm der  $M^{1/2}$  der *Miodyromys*-Formen von Vermes 1 und Vermes 2.

#### *Miodyromys* sp. von Vermes 1

*Material.* – 1 Einzelzahn.

Ein  $M^{1/2}$  von Vermes 1 weicht morphologisch sehr stark von *Miodyromys* aff. *aegercii* ab: Sein Anteroloph ist mit dem Endoloph verbunden, der hintere Zentroloph ist länger als der vordere, und zwischen den Hauptgraten gibt es keine Zusatzgrate. Mit seinen Dimensionen liegt dieser einzelne Molar etwas unterhalb des Grössenbereichs von *M.* aff. *aegercii* (Fig. 25).

#### *Microdyromys koenigswaldi* DE BRUIJN 1966 von Vermes 1

Fig. 26

*Material.* – 8 Einzelzähne.

Die kleinste Schlafmaus von Vermes besitzt ein einfaches Zahnmuster: Der Anteroloph der obren Molaren ist mit dem Endoloph verbunden; der vordere Zentroloph ist sehr lang, erreicht den Endoloph jedoch nie; die erste und die hinterste Synklinale der obren Molaren sind immer ohne Zusatzgrat. Diese Zähne von Vermes zeigen eine grosse Übereinstimmung in Morphologie und Grösse mit der Nominalform von *M. koenigswaldi* von Valdemoros III B in Spanien (DE BRUIJN 1966, S. 12). Wie die spanische Form ist die von Vermes 1 etwas grösser als *M.* cf. *koenigswaldi* von Anwil (ENGESSER 1972, S. 204).

*Masse* (mm)

P<sup>4</sup> 0,68 × 0,88  
M<sup>1</sup> 0,96 × 1,12  
M<sup>2</sup> 1,00 × 1,14  
M<sup>3</sup> 0,84 × 1,04

M<sub>1</sub> 1,00 × 0,86  
0,94 × 0,96  
M<sub>2</sub> 1,06 × 1,04  
0,96 × 0,96

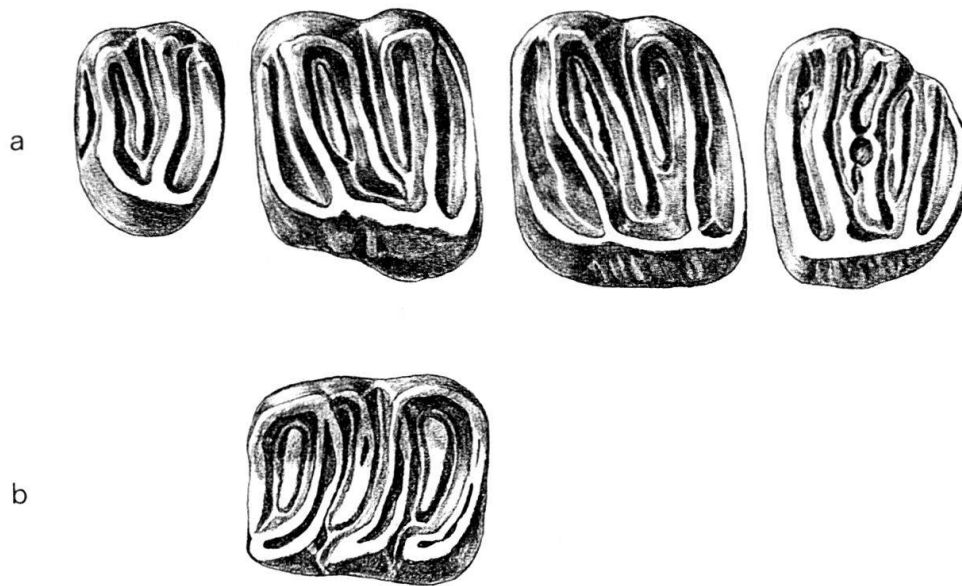


Fig. 26. *Microdyromys koenigswaldi* DE BRUIJN 1966 von Vermes I.

a = P<sup>4</sup>-M<sup>3</sup> (zusammengesetzt), P<sup>4</sup>: Vs. 555, M<sup>1</sup>: Vs. 556 (invers), M<sup>2</sup>: Vs. 557 (invers), M<sup>3</sup>: Vs. 558 (invers); b = M<sub>1</sub> sin.: Vs. 559. Alle Figuren × 25.

MAYR (1979) stellte die Gliriden-Art *Glirudinus praemurinus* (FREUDENBERG 1941) ins Genus *Microdyromys*, was sehr vernünftig erscheint. Zudem erklärte er *M. koenigswaldi* zum Synonym von *M. praemurinus*. Diese Zusammenlegung ist sehr problematisch: Wenn man nämlich die Nominalformen der beiden Arten – von Valdemoros IIIb und Gaimersheim – vergleicht, so fallen doch beträchtliche Grössenunterschiede auf. MAYR argumentiert, dass er Zwischenformen zwischen diesen beiden Arten gefunden hat und dass ihm eine klare Trennung unmöglich ist. Dies kommt jedoch bei zahlreichen Taxa vor. Es muss in diesem Fall aber auch berücksichtigt werden, dass wir es bei *M. praemurinus/koenigswaldi* mit Formen zu tun haben, welche ein sehr ursprüngliches, wenig spezialisiertes Zahnmuster aufweisen. Solche Formen sind bekanntlich immer schwer zu unterscheiden. Ausserdem sollte man berücksichtigen, dass wir von diesen Tieren nur die Zähne kennen. Aus diesen Erwägungen ist es vorzuziehen, den Namen *M. koenigswaldi* aufrechtzuerhalten.

*Eomuscardinus* cf. *sansaniensis* (LARTET 1851) von Vermes I

Fig. 27

*Material.* – 1 Zahnfragment.

Ein Fragment eines M<sup>1</sup> von Vermes I zeigt einige morphologische Unterschiede zur Nominalform von *E. sansaniensis* von Sansan: Proto-, Meta- und Posteroloph laufen auf der Lingualseite in einem spitzen Winkel zusammen. Beim M<sup>1</sup> der Form von Sansan laufen diese Grate in einem gestreckteren Winkel zusammen, und in den meisten Fällen ist ein kurzer Endoloph ausgebildet. Ein weiteres Merkmal des Zahnfragmentes von Vermes I, welches am M<sup>1</sup> der Form von Sansan nie beobachtet werden konnte, ist die Verbindung des vorderen Zentroloph mit dem Metaloph.

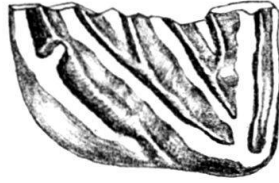


Fig. 27. *Eomuscardinus* cf. *sansaniensis* (LARTET 1851) von Vermes I. M<sup>1</sup> sin.: Vs. 560 (invers).  $\times 25$ .

Das spitzwinklige Zusammenlaufen von Proto-loph und Metaloph ist als ursprüngliches Merkmal zu deuten. Kommt es doch bereits bei altertümlichen *Glirudinus*-Arten des Oberoligozäns und Untermiozäns vor. Ausserdem bildet MAYR (1979, Tf. 5, Fig. 2) einen *Muscardinus*-Zahn von Eitensheim ab – einer Fundstelle, die der Autor in die Zone NM 5 einstuft –, welcher dasselbe spitzwinklige Zusammenlaufen der genannten Grate zeigt. Wenn man die Entwicklung des M<sup>1</sup> von *Eomuscardinus* und später von *Muscardinus* im mittleren und obern Miozän verfolgt, so zeigt sich, dass der Winkel zwischen diesen Graten immer gestreckter wird bzw. dass sich der Endoloph immer mehr verlängert (ENGESSER 1972, Abb. 82). Trotz dem sehr spärlichen Material von *Eomuscardinus* von Vermes I ist es möglich, zu sagen, dass diese Form ursprünglicher ist als jene von Sansan.

*Bransatoglis cadeoti* BULOT 1978 von Vermes I

Fig. 28

*Material.* – 2 Einzelzähne.

Ein M<sup>1</sup> von grossen Dimensionen (2,20  $\times$  1,88 mm) belegt das Vorkommen der Gattung *Bransatoglis* in der Fauna von Vermes I. Die Synklinalen dieses Zahnes sind im Querschnitt in der für *Bransatoglis* typischen Weise U-förmig gerundet, der Anteroloph ist mit dem Endoloph verbunden, und auch der vordere und der hintere Zentroloph sind zusammengehängt. Die Zahnkrone ist sehr massiv und leicht konkav.

Dieser M<sup>1</sup> ist bedeutend grösser als die entsprechenden Zähne von *B. astaracensis* von Sansan und Anwil. Er passt grössenmässig sehr gut in die Art *B. cadeoti*,

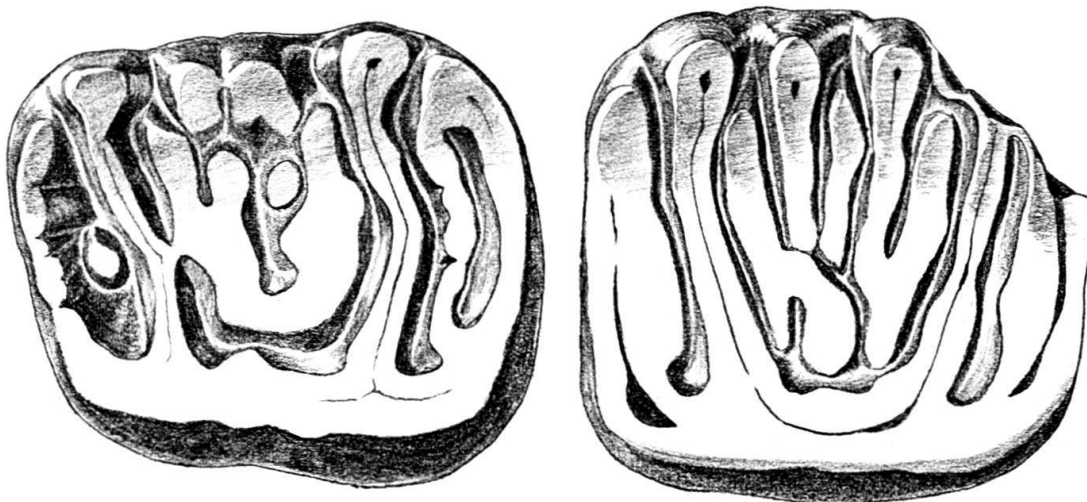


Fig. 28. *Bransatoglis cadeoti* BULOT 1978 von Vermes I. M<sup>1</sup> SIN.: Vs. 561 und M<sup>2</sup> sin.: Vs. 562 (invers). Beide Figuren  $\times 25$ .

welche bisher nur von einer Fundstelle – Bézian bei La Romieu – beschrieben ist. Die Fauna von Bézian soll im Alter jener von La Romieu entsprechen, d.h. in die Säugerzone NM4 gehören.

Ausserdem ist *B. cadeoti* von einer unpublizierten Fauna aus Süddeutschland bekannt, welche E. Heizmann (Ludwigsburg) gesammelt und uns zum Vergleich überlassen hat. Diese letztere Fauna ist mit Sicherheit in die Zone NM5 einzustufen. Aus jüngeren Horizonten ist diese grosse Art von *Bransatoglis* bisher nicht belegt.

In der Sammlung Bodmer existiert ebenfalls ein Fragment eines M<sup>2</sup> von *B. cadeoti*. Dieses Stück zeigt ähnliche Dimensionen wie der M<sup>1</sup> von Vermes 1 (2,08 × 2,00 mm) und stammt nach der Beschaffenheit des Sedimentstückes, auf dem es sitzt, mit grösster Wahrscheinlichkeit auch aus dem Faunenhorizont von Vermes 1.

#### Familie *Castoridae* GRAY 1821

#### *Anchitheriomys* sp. von Vermes 1

Fig. 29

*Material.* – 1 Zahnfragment.

Merkwürdigerweise findet sich im doch recht beträchtlichen Fossilmaterial von Vermes nur ein einziger Biberrest. Bei diesem handelt es sich um ein Fragment eines untern Molaren, welches aus der Sammlung Bodmer stammt. Da an diesem Zahnfragment noch Sedimentreste haften – dunkle Mergel mit lignitösen Einschlüssen –, kann mit grosser Sicherheit angenommen werden, dass das Stück aus dem Faunenhorizont von Vermes 1 stammt. Die Fundstücke, welche sicher an der Fundstelle von Vermes 2 gefunden wurden, befinden sich nämlich ausnahmslos in einem bräunlichen, recht harten Süsswasserkalk.

Das Zahnfragment besteht aus dem vordern Teil eines untern Molaren, an welchem die Labialsynklinale und vier Schmelzinseln zu sehen sind (Fig. 29). Die hinterste Schmelzinsel entspricht der Lingualsynklinale, welche nicht durch den

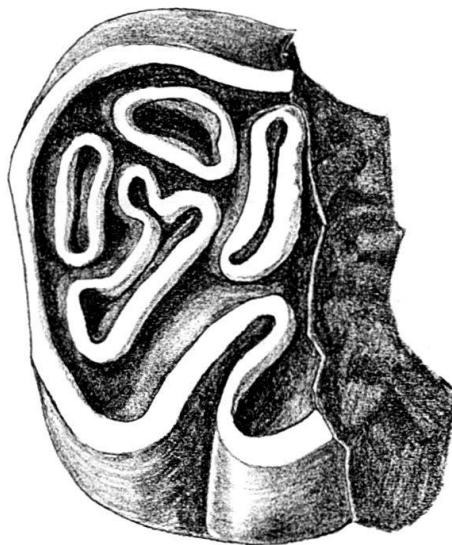


Fig. 29. *Anchitheriomys* sp. von Vermes 1. M inf. sin.: Vs. 563 (invers). × 6.

lingualen Kronenrand durchgebrochen ist. Für die Gattung *Anchitheriomys* charakteristisch ist die grosse Dicke des Schmelzes. Die Breite des Zahnfragmentes beträgt 8,85 mm.

Nach der Morphologie und den Dimensionen könnte dieses Zahnfragment sehr gut zur Art *A. wiedemanni* ROGER 1898 gehören, der einzigen bisher bekannten Art der Gattung.

*Anchitheriomys* gehört zu den seltensten Säugetierformen des europäischen Miozäns. Ausserdem ist die Gattung aus keiner gut datierten Fauna belegt. Aus diesen Gründen ist *Anchitheriomys* für die Biostratigraphie von untergeordneter Bedeutung.

## 5.2 Liste der Taxa, die nur in nicht genau horizontal aufgesammelten Kollektionen belegt sind.

*Martes munki* ROGER. Material: 1 P<sup>4</sup>, Samml. Fleury.

*Anchitherium aurelianense* (CUVIER). Material: 1 Maxillarfragment mit 4 Zähnen, Samml. Greppin, und 1 Metapodium, Basler Samml.

Rhinocerotide gen. et sp. indet. Material: Einige Zahnfragmente und eine Phalange, Samml. Bodmer, Greppin und Fleury.

*Hyotherium soemmeringi* H. VON MEYER. Material: 1 D<sub>2</sub>, Samml. Fleury.

*Lagomeryx* cf. *parvulus* ROGER. Material: 1 Mand. sin. M<sub>2</sub>-M<sub>3</sub>, Samml. Bodmer.

*Lagomeryx* cf. *meyeri* HOFMANN. Material: Diverse Einzelzähne in verschiedenen Sammlungen.

*Palaeomeryx bojani* H. VON MEYER. Material: 1 P<sup>4</sup> und 1 M<sup>3</sup>, Samml. Bodmer, diverse Einzelzähne in der Samml. Greppin.

*Gomphotherium angustidens* (CUVIER). Material: 1 M<sub>3</sub> und 1 D<sub>4</sub>, Samml. Bodmer.

## 6. Paläontologische Schlussfolgerungen

### 6.1 Faunenliste von Vermes I

#### Ordnung Marsupialia

*Amphiperatherium* sp.

#### Ordnung Insectivora

##### Familie Erinaceidae

*Galerix* aff. *exilis* BLAINVILLE 1840

*Lanthanotherium* sp.

*Mioechinus* sp.

##### Familie Plesiosoricidae

*Plesiosorex* cf. *germanicus* (SEEMANN 1938)

##### Familie Dimylidae

*Plesiodimylus chantrei* GAILLARD 1899

##### Familie Talpidae

Talpide gen. et sp. indet.

##### Familie Soricidae

*Dinosorex zapfei* ENGESSER 1975

Soricide gen. et sp. indet.